

Astrofizyka cząstek

prof. dr hab. A.F.Żarnecki

Zakład Cząstek i Oddziaływań Fundamentalnych IFD

Wykład VII

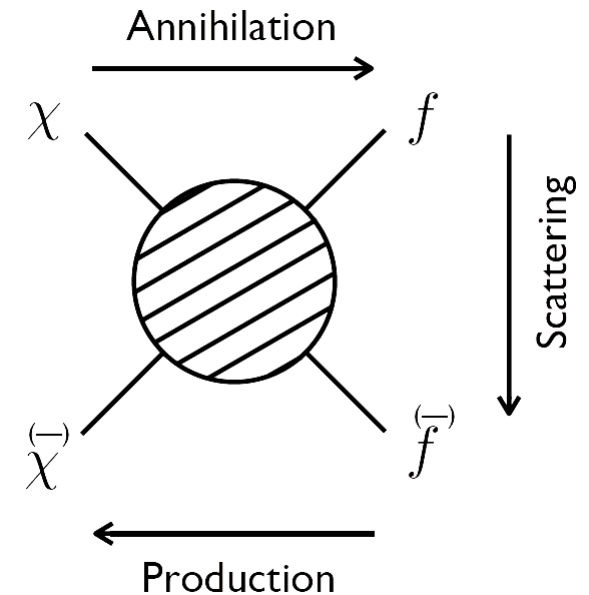
- Pośrednie poszukiwania ciemnej materii
satelitarne pomiary promieniowania kosmicznego
 - FERMI
 - PAMELA
 - AMS-2

Ciemna materia

Poszukiwanie

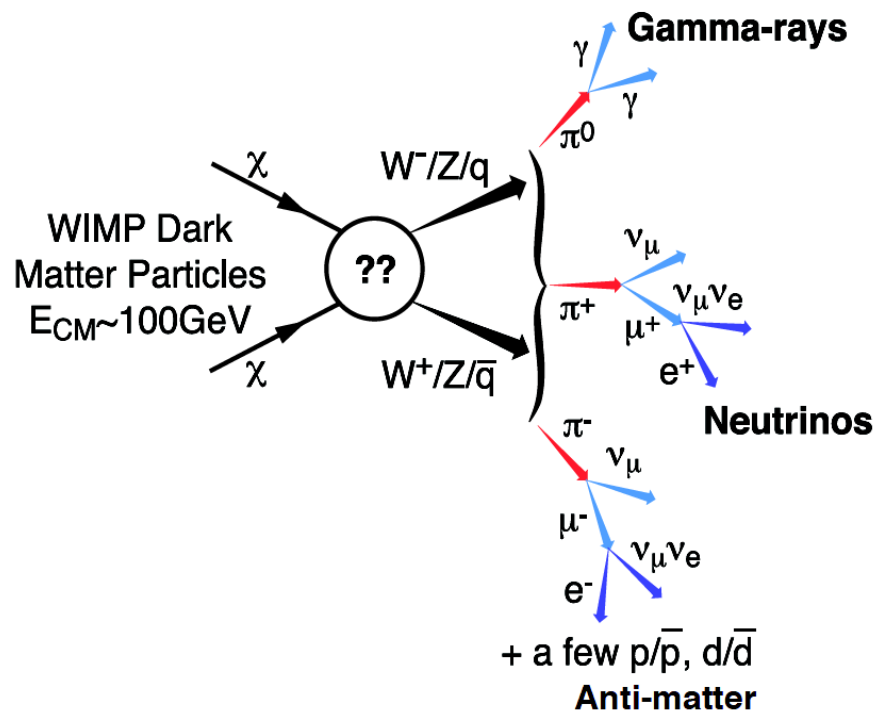
Niezależnie od modelu, możemy poszukiwać cząstek ciemnej materii (DM) na trzy sposoby:

- produkcja
bezpośrednia produkcja cząstek ciemnej materii
np. w LHC
- detekcja bezpośrednia
poszukiwanie sygnałów oddziaływania DM
(rozpraszania) w detektorach
- detekcja pośrednia
poszukiwanie sygnałów oddziaływania (anihilacji)
DM we Wszechświecie



Detekcja pośrednia

Anihilacja DM



Przyjmujemy, że cząstki ciemnej materii uległy “wymrożeniu” wraz z rozszerzaniem się Wszechświata. Ich gęstość była zbyt mała aby mogły efektywnie anihilować...

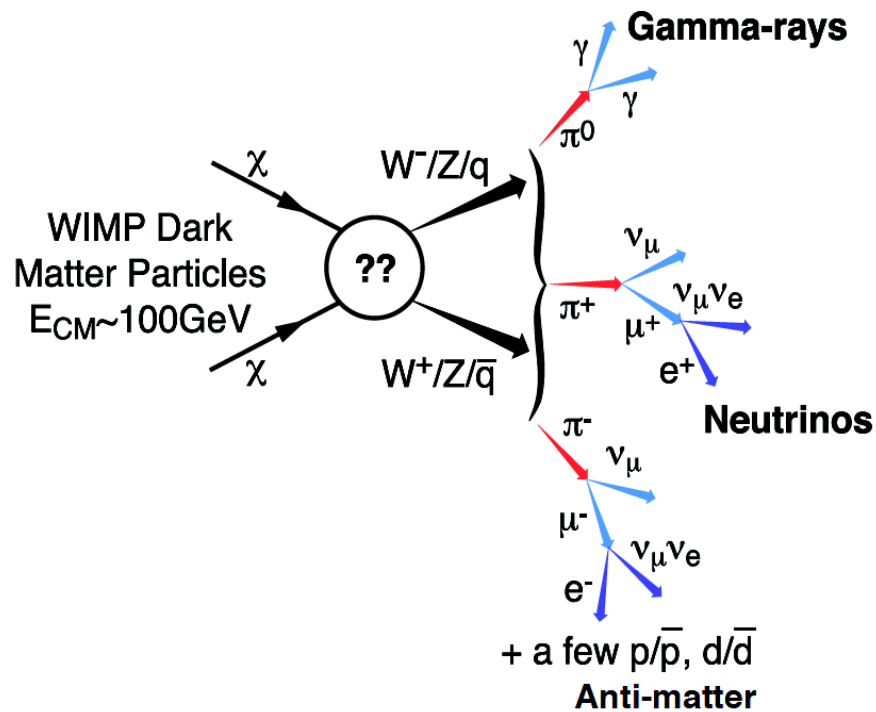
Ale ciemna materia uczestniczy w tworzeniu struktur we Wszechświecie! Więc na małych skalach odległości jej gęstość może być o wiele rzędów wielkości większa niż gęstość średnia (tak jak normalnej materii).

⇒ może znów zachodzić anihilacja

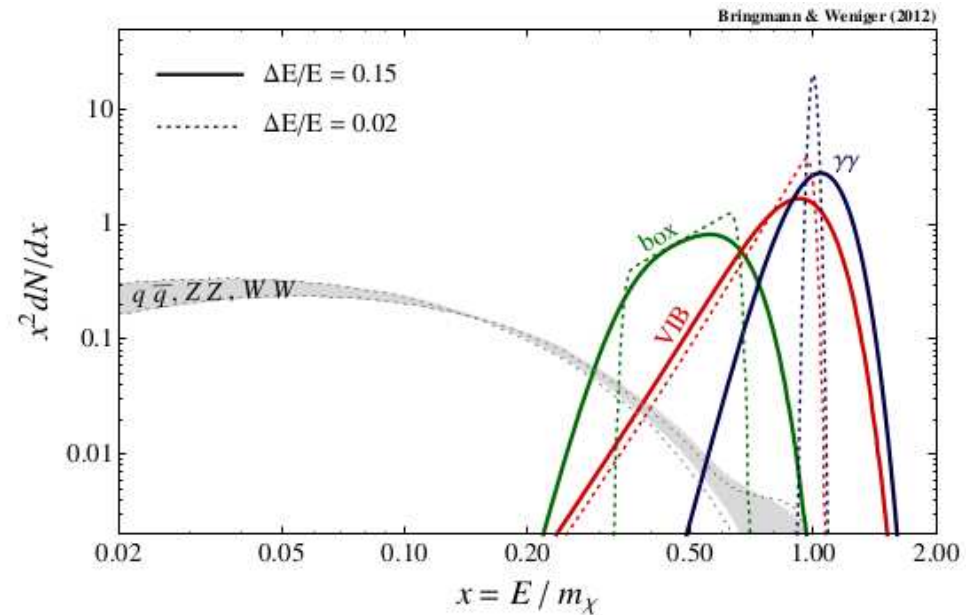
Podobnie jak w gwiazdach znów zachodzi nukleosynteza...

Detekcja pośrednia

Anihilacja DM



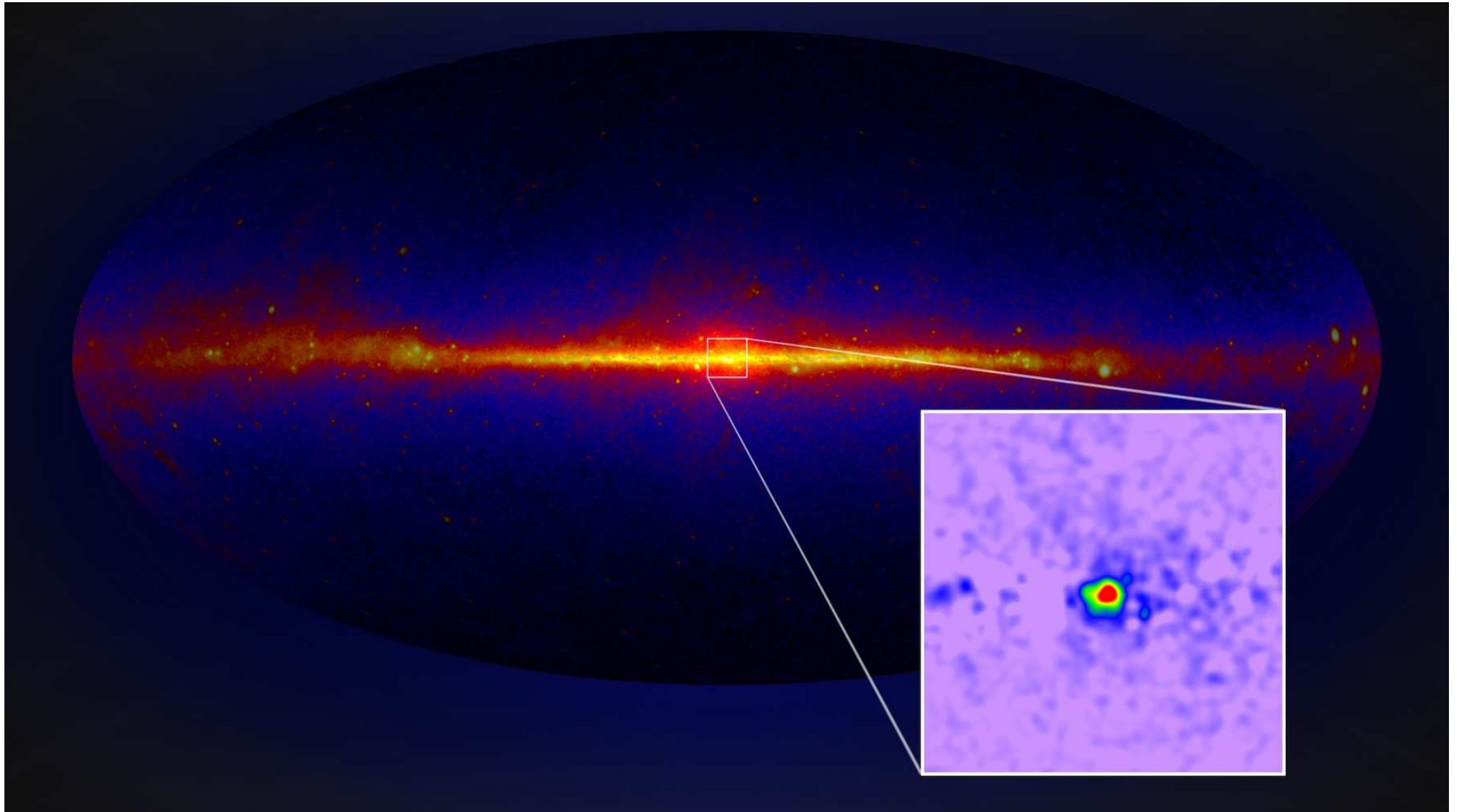
Oczekiwane widmo promieniowania γ :



\Rightarrow maksimum blisko $E = m_\chi$

Detekcja pośrednia

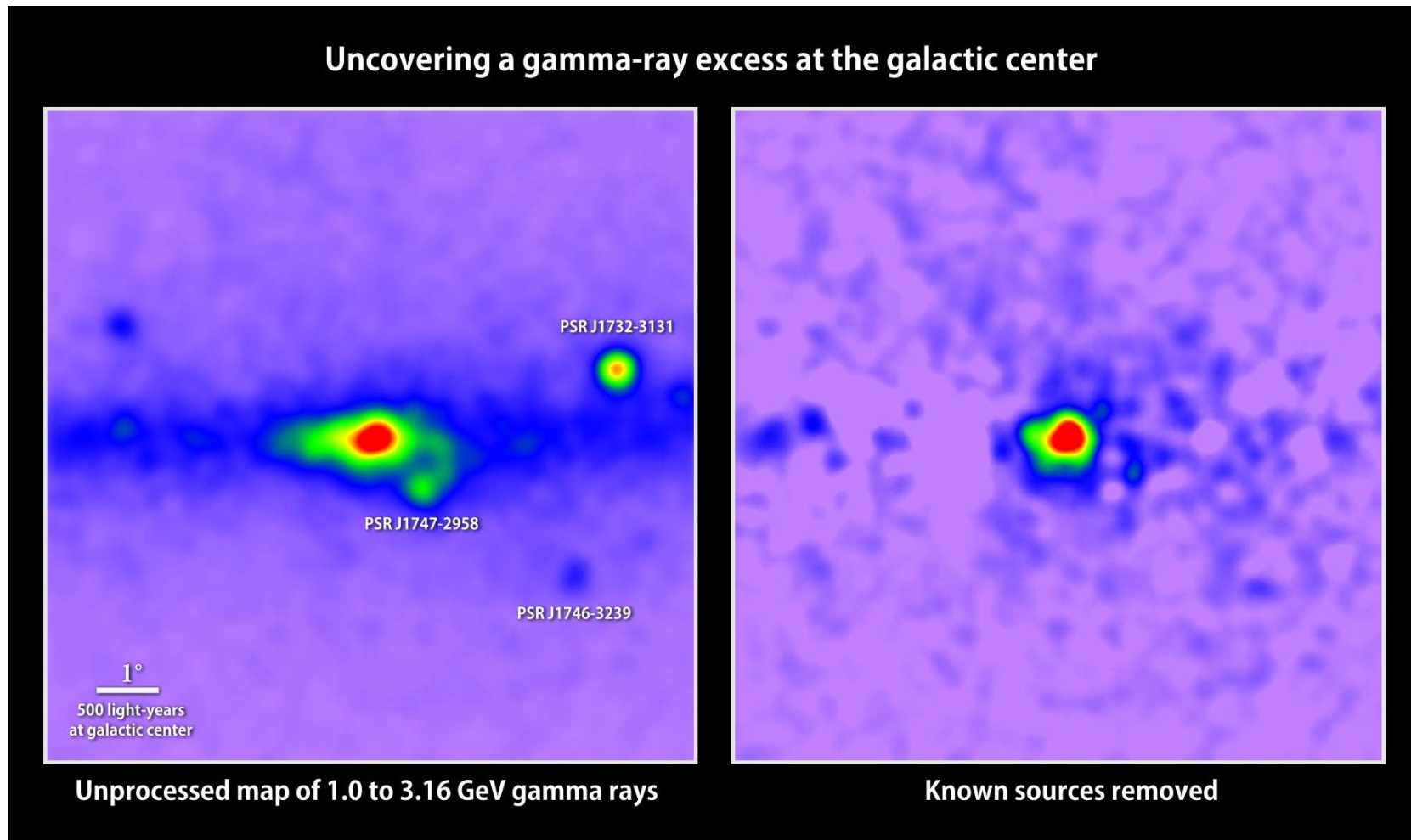
Wyniki FERMI



Detekcja pośrednia

Wyniki FERMI

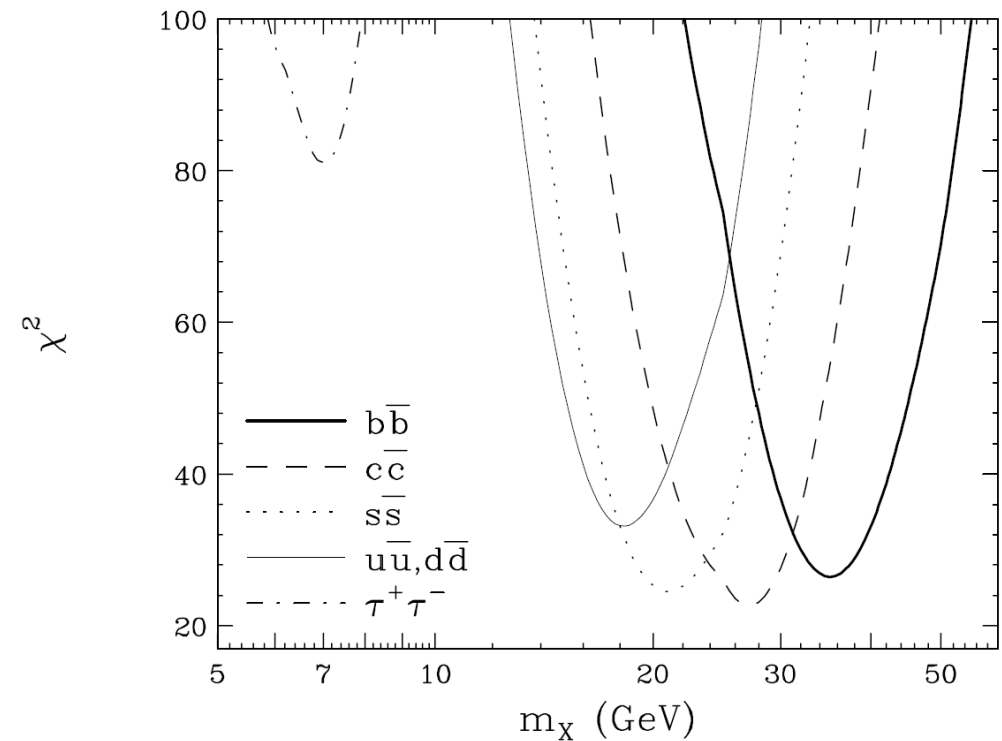
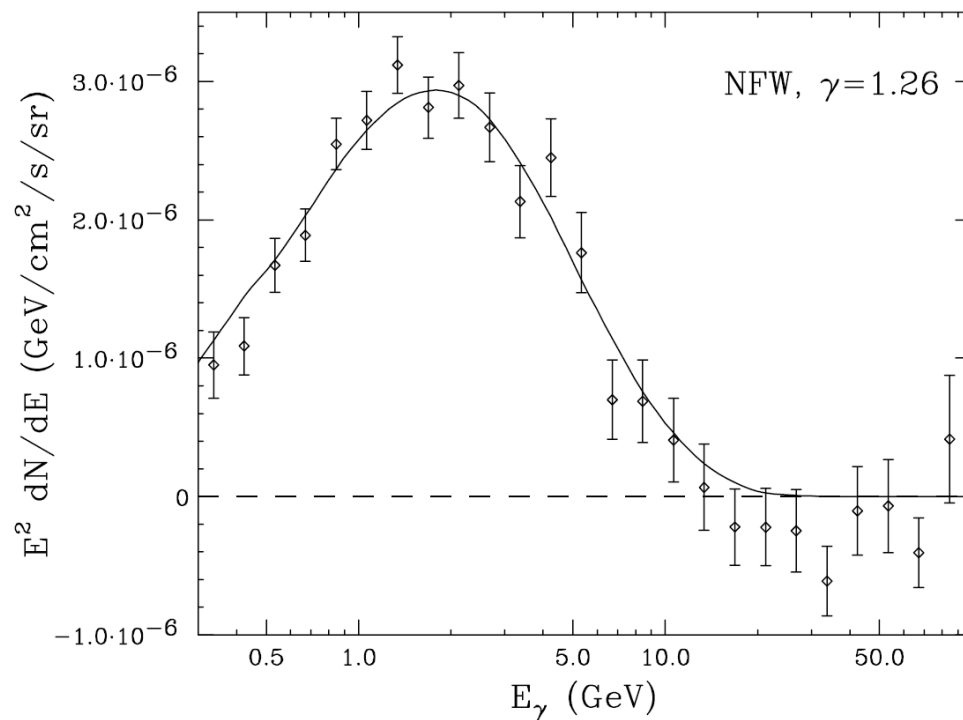
Odejmując promieniowanie znanych źródeł i modelowane promieniowanie pochodzące od znanych procesów wciąż zostaje niewielki nadmiar w zakresie energii rzędu GeV.



Detekcja pośrednia

Wyniki FERMI

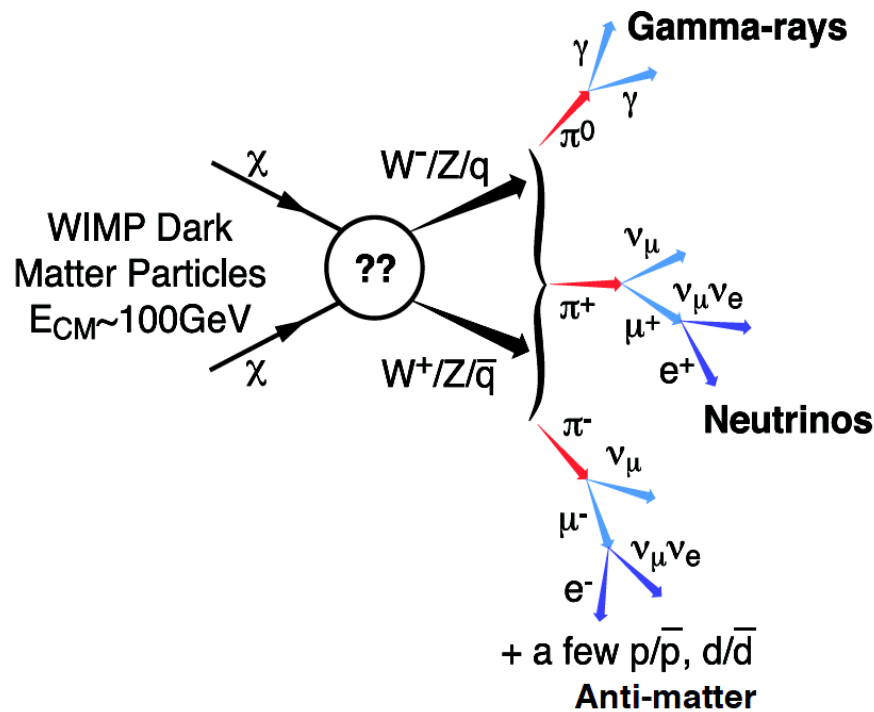
Nadmiar ten może być opisany jako pochodzący od anihilacji cząstek DM



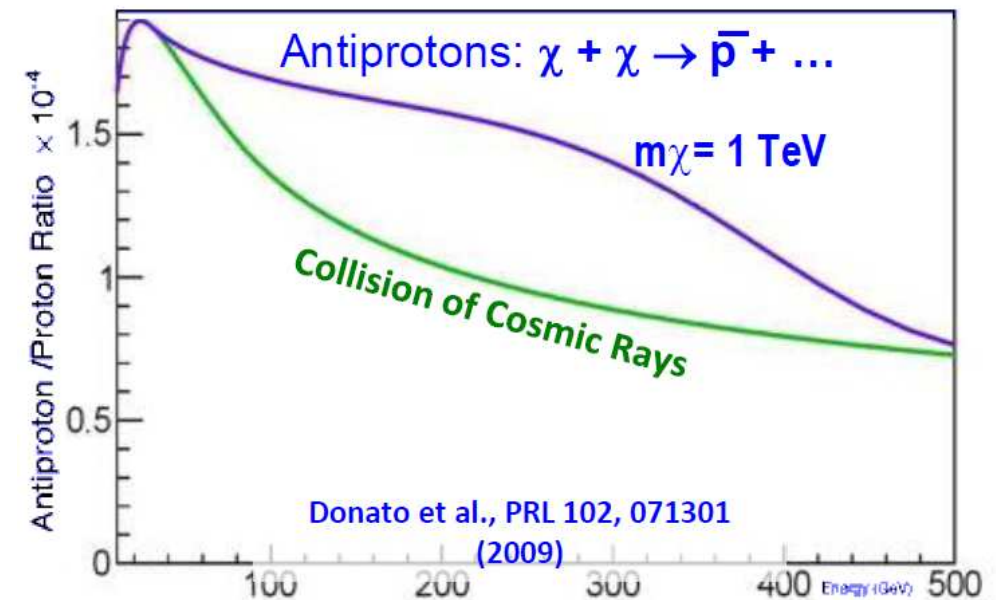
Ale wyniki bardzo zależą od modelowania tła galaktycznego, mogą też być opisane przez dodatkowe “znane” źródła \Rightarrow wiele prac, ale wciąż bez ostatecznej konkluzji

Detekcja pośrednia

Anihilacja DM



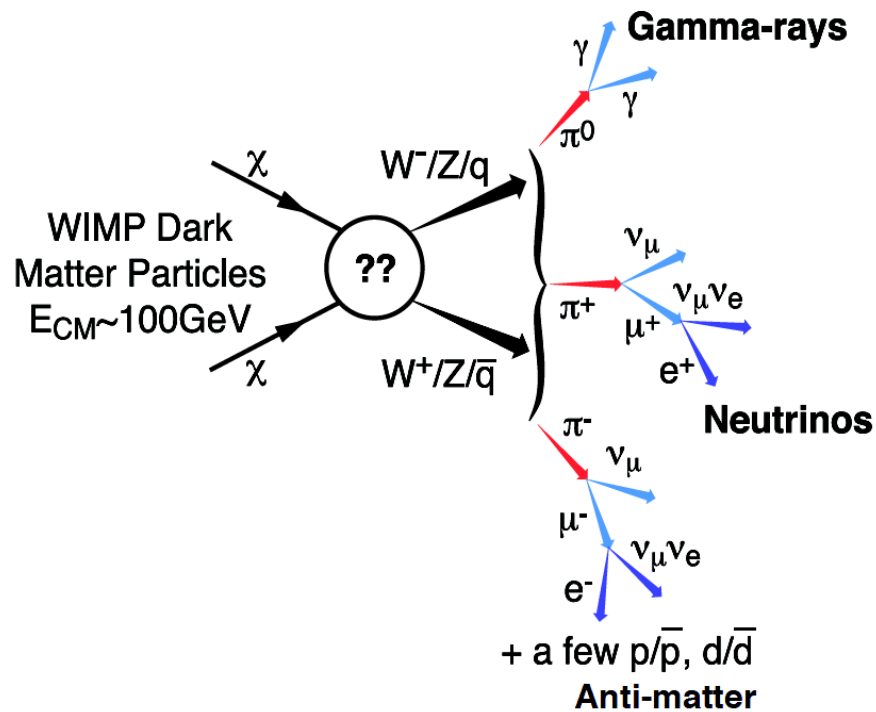
Oczekiwane widmo antyprotonów:



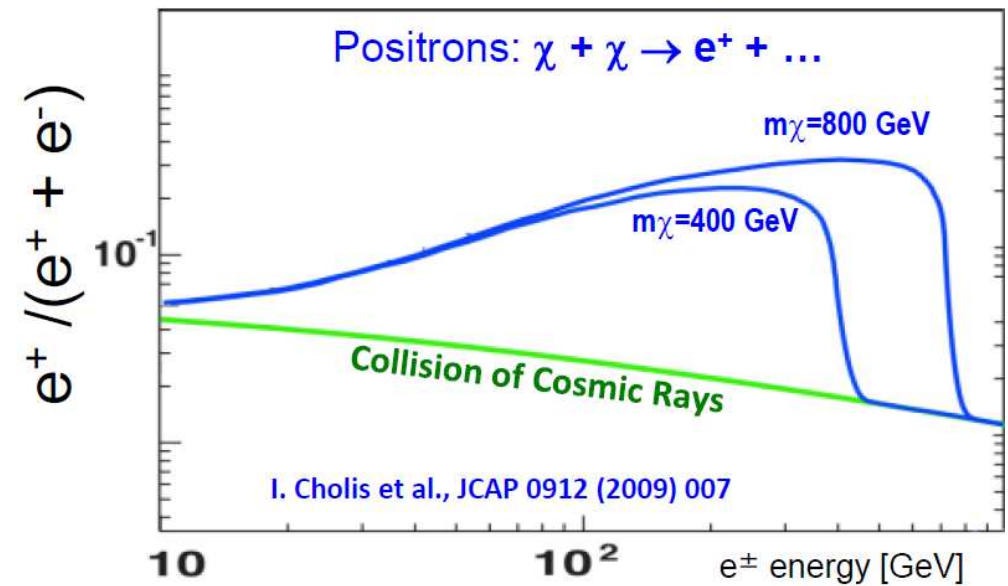
\Rightarrow wyraźna nadwyżka (ponad tło wynikające z oddziaływania promieniowania kosmicznego) oczekiwana dla $E \leq m_\chi$

Detekcja pośrednia

Anihilacja DM



Oczekiwane widmo pozytonów:

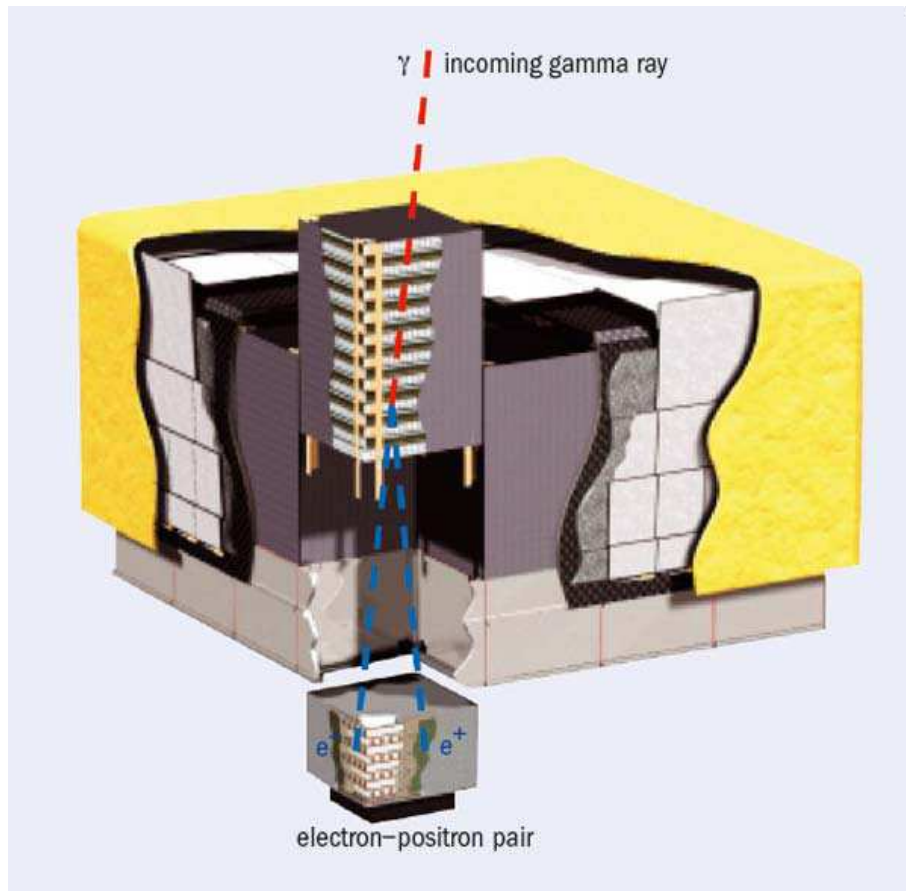


\Rightarrow wyraźna nadwyżka (ponad tło wynikające z oddziaływania promieniowania kosmicznego) oczekiwana dla $E \leq m_\chi$

\Rightarrow próg przy $E \sim m_\chi$

Detekcja pośrednia

Fermi-LAT



Detektor dedykowany pomiarowi fotonów w zakresie od 20 MeV do 300 GeV.

$1.8 \times 1.8 \times 1.0 \text{ m}^3$, 3000 kg, 650 W

Pomiar kierunku i energii fotonu na podstawie konwersji $\gamma \rightarrow e^+ e^-$

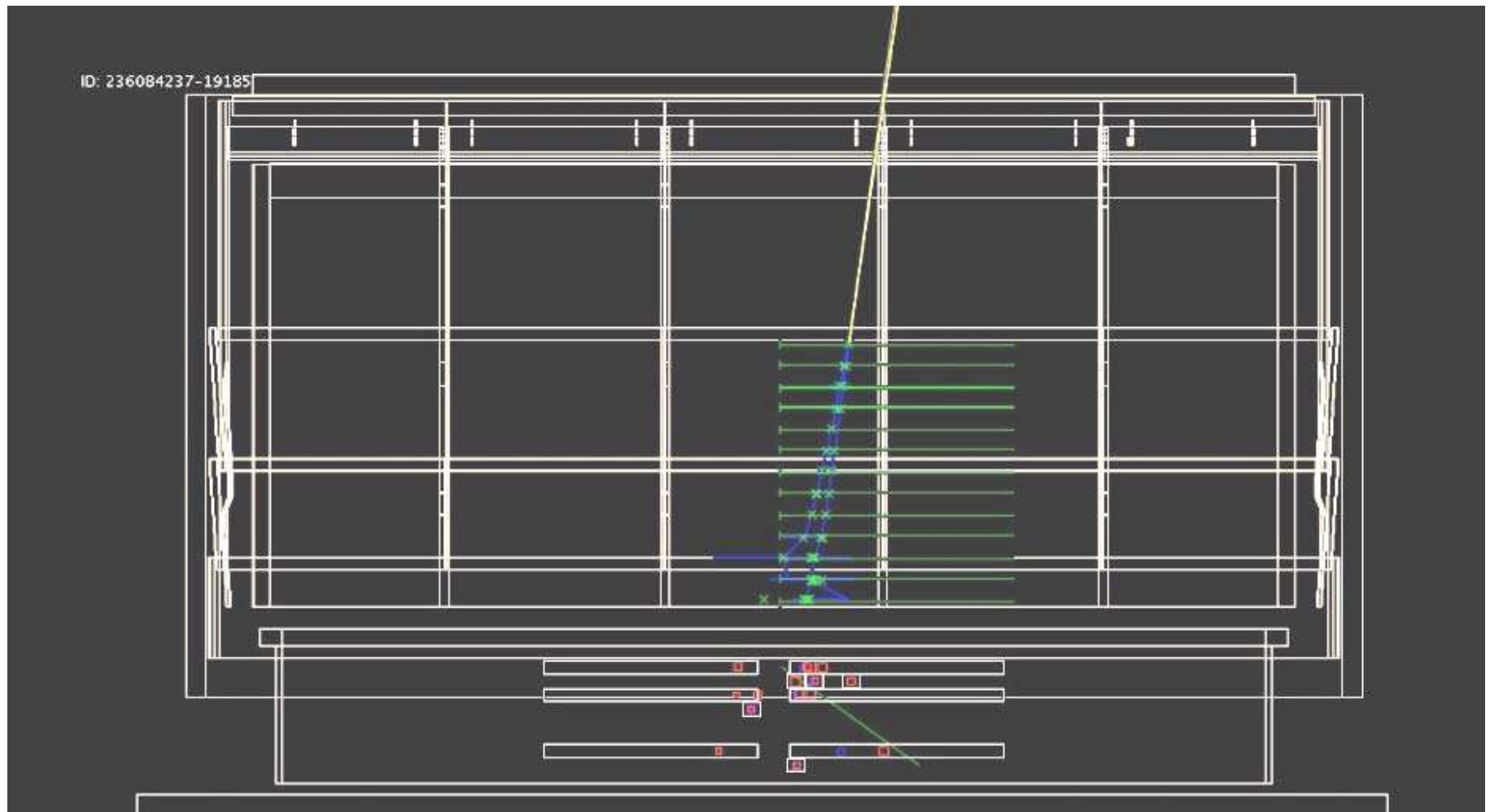
Detektor mierzy też dokładnie kierunek oraz energię elektronów i pozytonów.

Sam nie potrafi ich jednak odróżnić - brak pola magnetycznego.

Fermi-LAT

Large Area Telescope

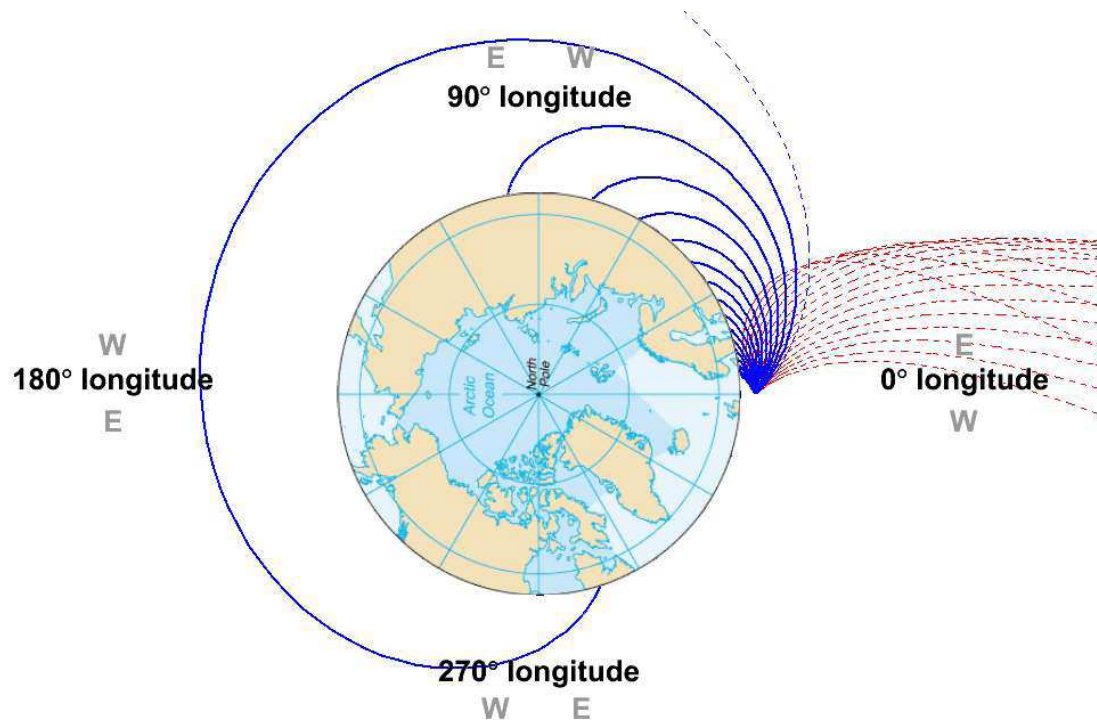
przykładowy przypadek $\gamma \rightarrow e^+e^-$



Fermi-LAT

Rozróżnienie e^\pm

Przy określonym ustawieniu satelity można jednak wykorzystać pole magnetyczne Ziemi. Zależnie od ustawienia satelity Ziemia może zasłaniać pole widzenia LAT.

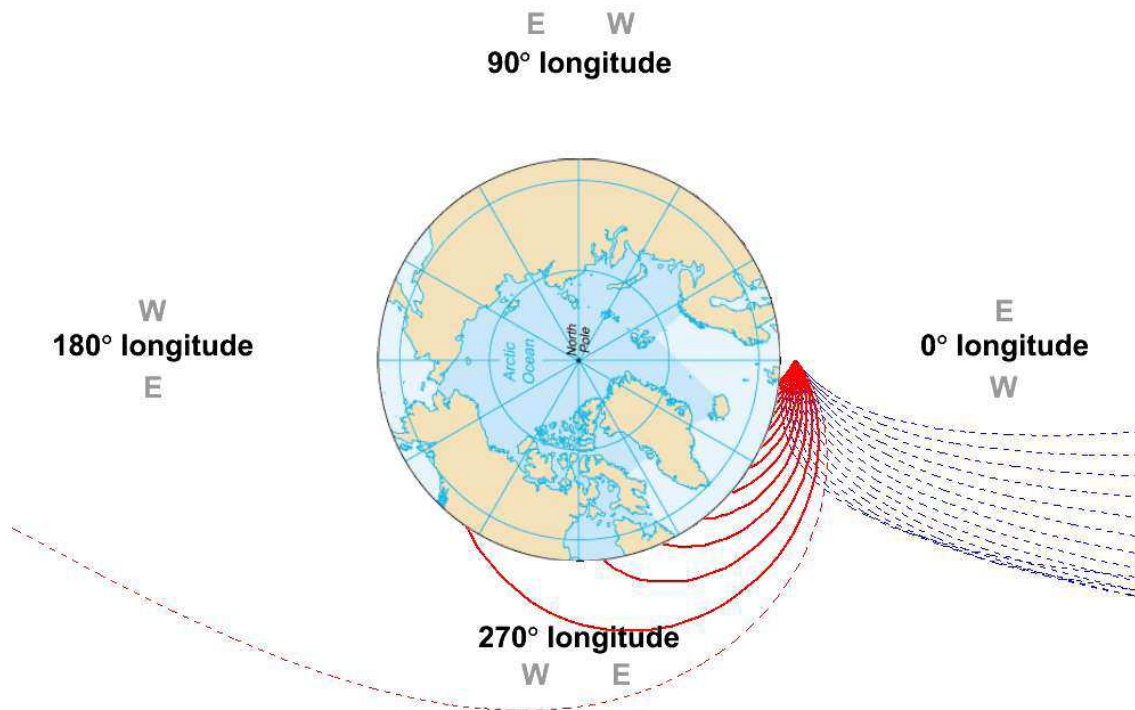


Jak satelita patrzy “na wschód” Ziemia ogranicza pole widzenia LAT dla [pozytonów](#).

Fermi-LAT

Rozróżnienie e^\pm

Przy określonym ustawieniu satelity można jednak wykorzystać pole magnetyczne Ziemi. Zależnie od ustawienia satelity Ziemia może zasłaniać pole widzenia LAT.



Jak satelita patrzy “na wschód” Ziemia ogranicza pole widzenia LAT dla **pozytonów**.

Jak satelita patrzy “na zachód” Ziemia ogranicza pole widzenia LAT dla **elektronów**.

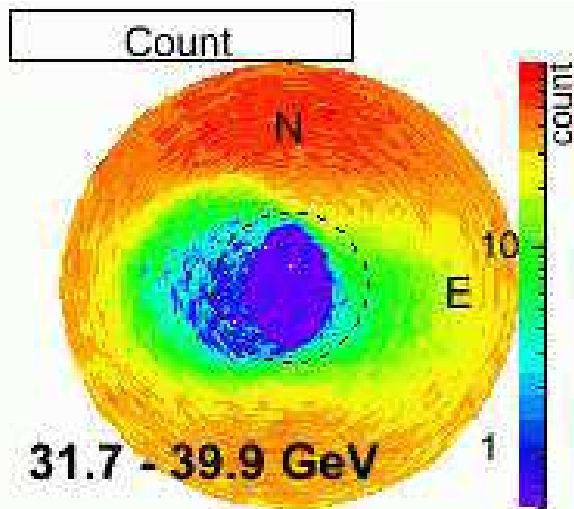
Porównując pomiary widma e^\pm dla różnych pozycji możemy wyznaczyć stosunek e^+/e^-

Fermi-LAT

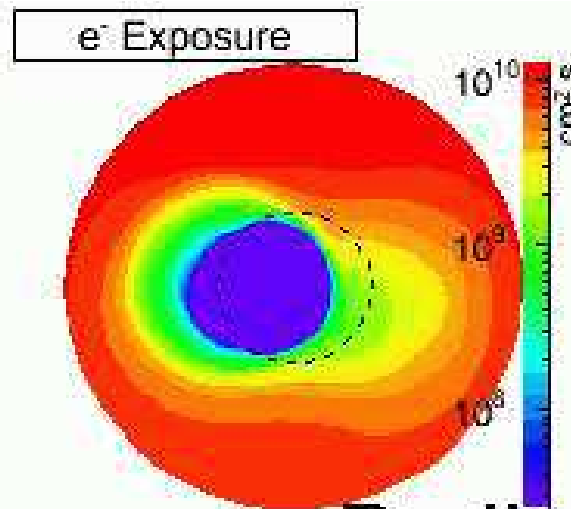
Rozróżnienie e^\pm

Wyniki detektora LAT

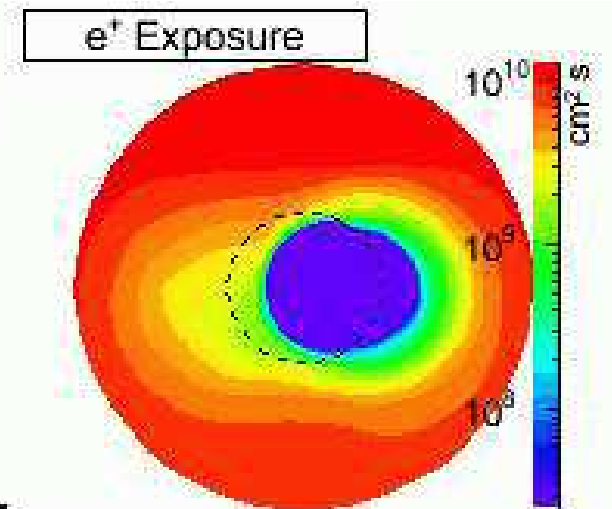
Rejestrowana częstość
cząstek naładowanych



Oczekiwany rozkład
dla elektronów



Oczekiwany rozkład
dla pozytonów



Preliminary

Linia przerywana odpowiada geometrycznemu cieniowi Ziemi.

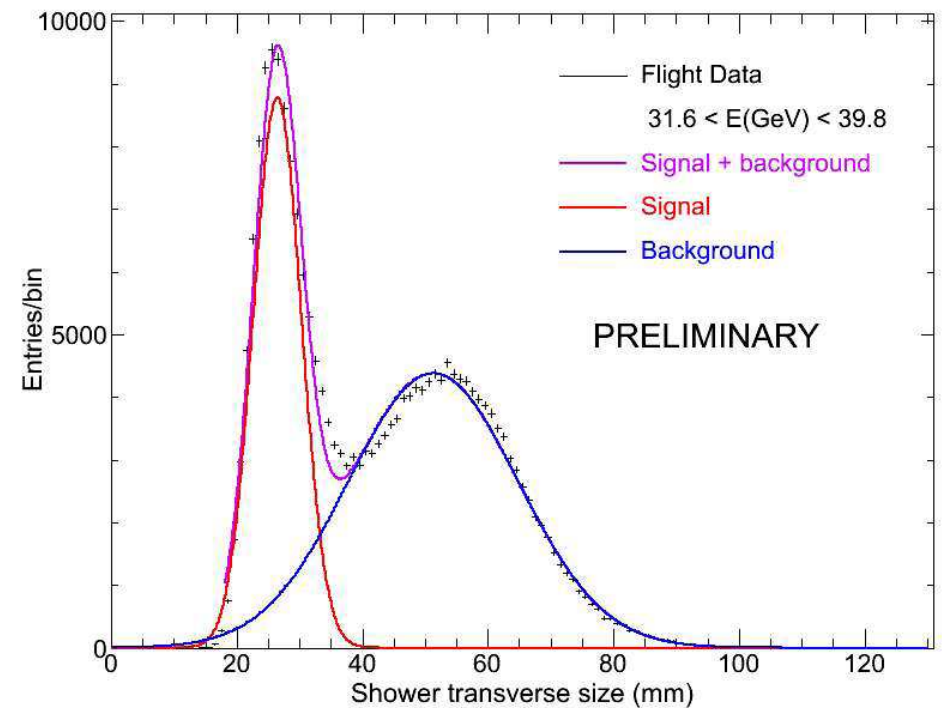
Pole magnetyczne przesuwają "cień" na zachód dla e^- , a na wschód dla e^+ .

Eliminacja tła protonów

Elektrony i pozytony nie są jedynymi rejestrowanymi cząstkami naładowanymi.

Dużą część stanowią protony, które można odróżnić od pozytonów na podstawie kształtu kaskady w kalorymetrze.

Rozkład szerokości kaskady dla przypadków bez selekcji ładunku



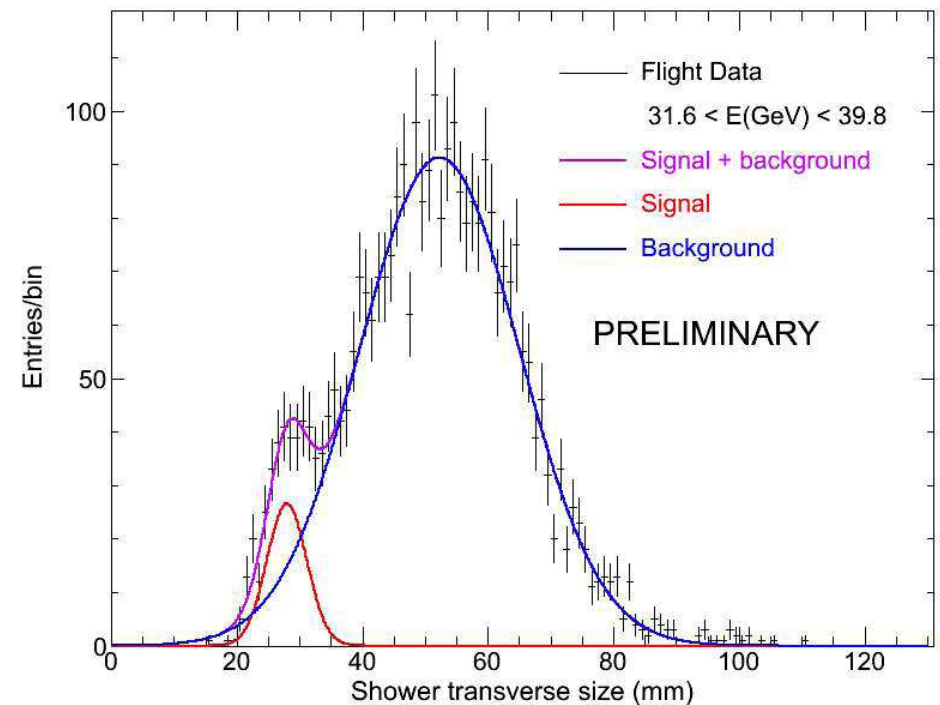
Eliminacja tła protonów

Elektrony i pozytony nie są jedynymi rejestrowanymi cząstkami naładowanymi.

Dużą część stanowią protony, które można odróżnić od pozytonów na podstawie kształtu kaskady w kalorymetrze.

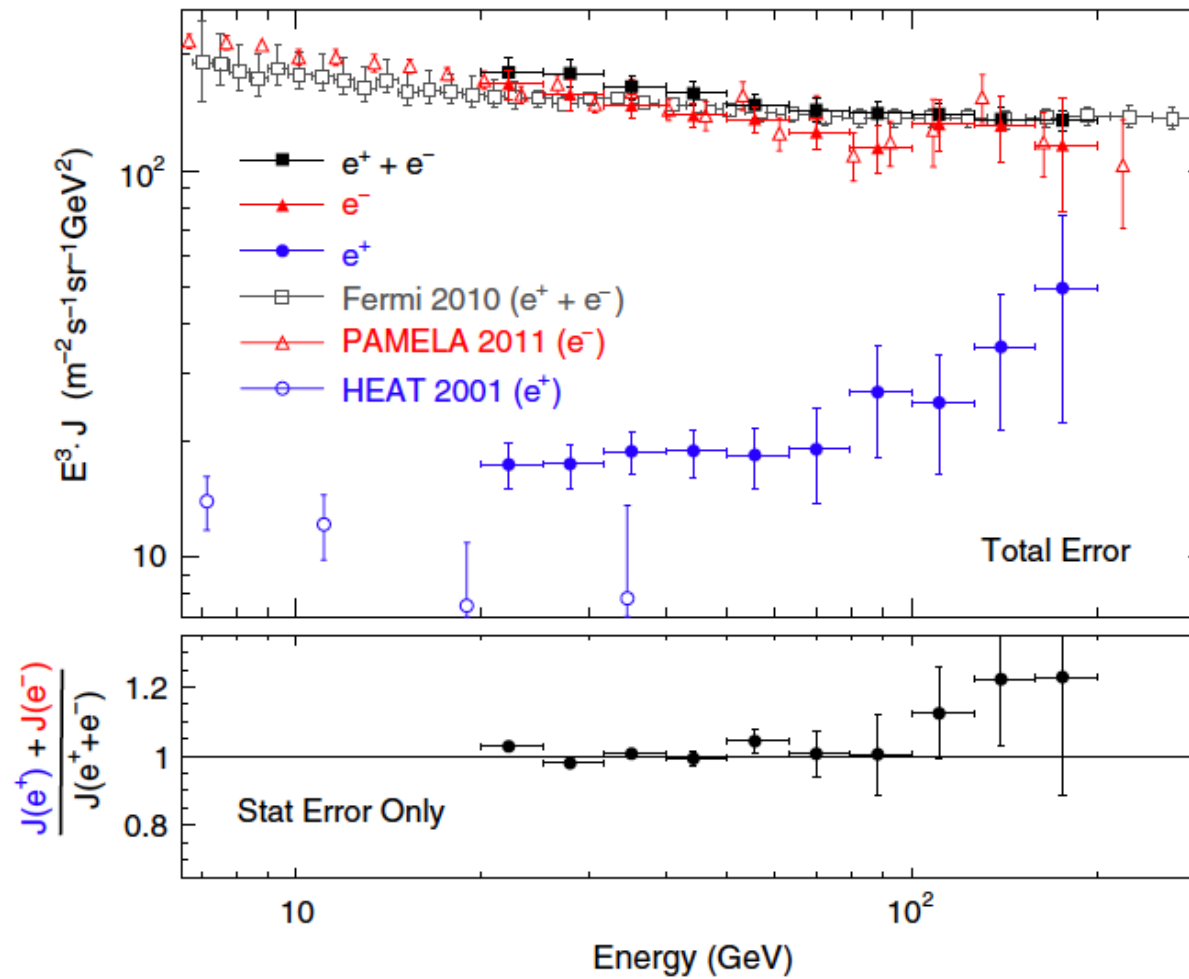
Udział pozytonów można wyznaczyć statystycznie na podstawie dopasowania

Rozkład szerokości kaskady dla przypadków uznanych za cząstki dodatnie



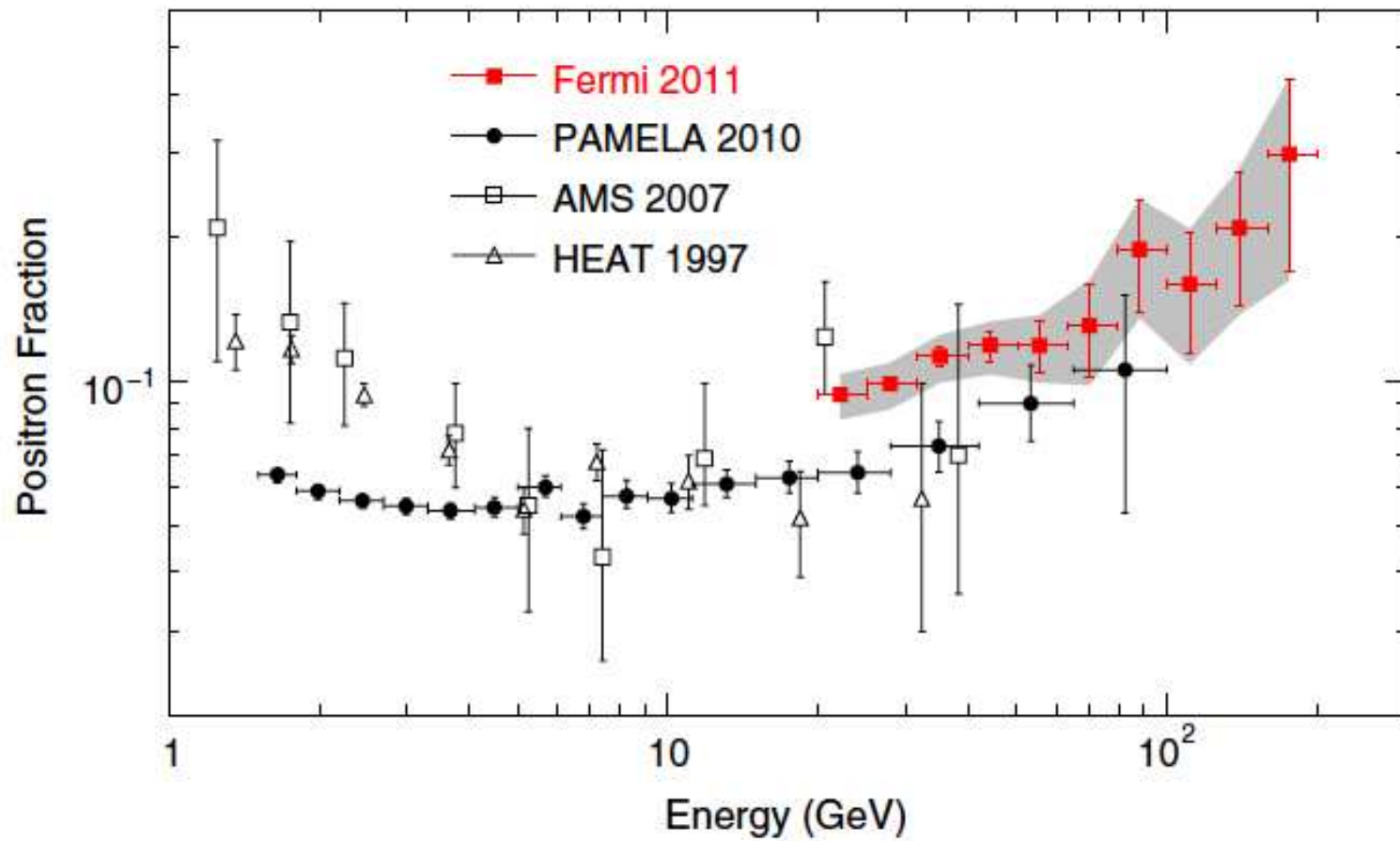
Fermi-LAT

Wyniki pomiaru e^\pm



Fermi-LAT

Wyniki pomiaru e^\pm

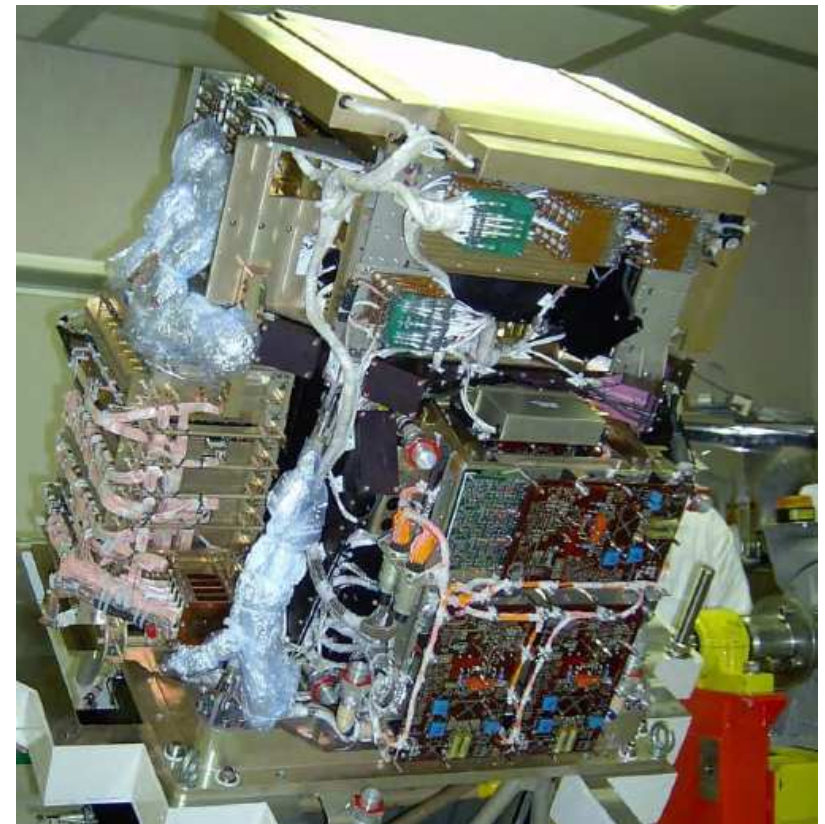


Detekcja pośrednia

PAMELA

Eksperyment na satelicie Resurs-DK1. Wystrzelony w 2006.

Główny cel: dokładny pomiar widma i składu promieniowania kosmicznego.



PAMELA

Detektor satelitalny

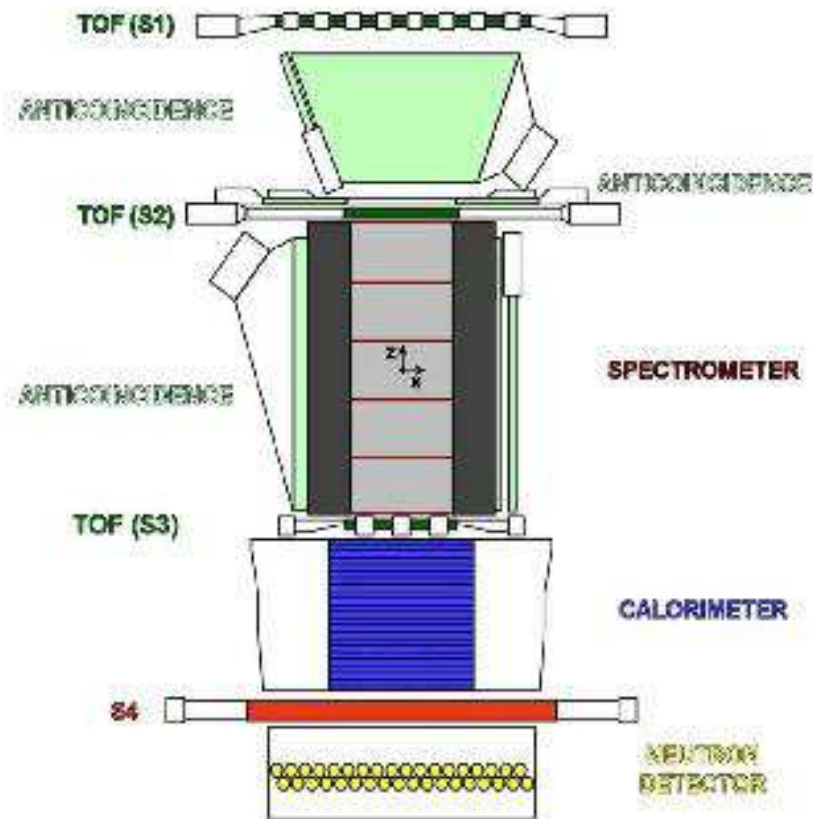


Zakładany zakres pomiarów:

- elektrony do 400 GeV
elektrony/pozytony do 2 TeV (bez ładunku)
- protony do 700 GeV
- antyprotony 80 MeV – 150 GeV
- pozytony 50 MeV – 270 GeV
- lekkie jądra do 200 GeV/n

PAMELA

Detektor satelitarny



Pomiar i identyfikacja wpadających cząstek podobnie jak w eksperymentach HEP.

Główne elementy detektora:

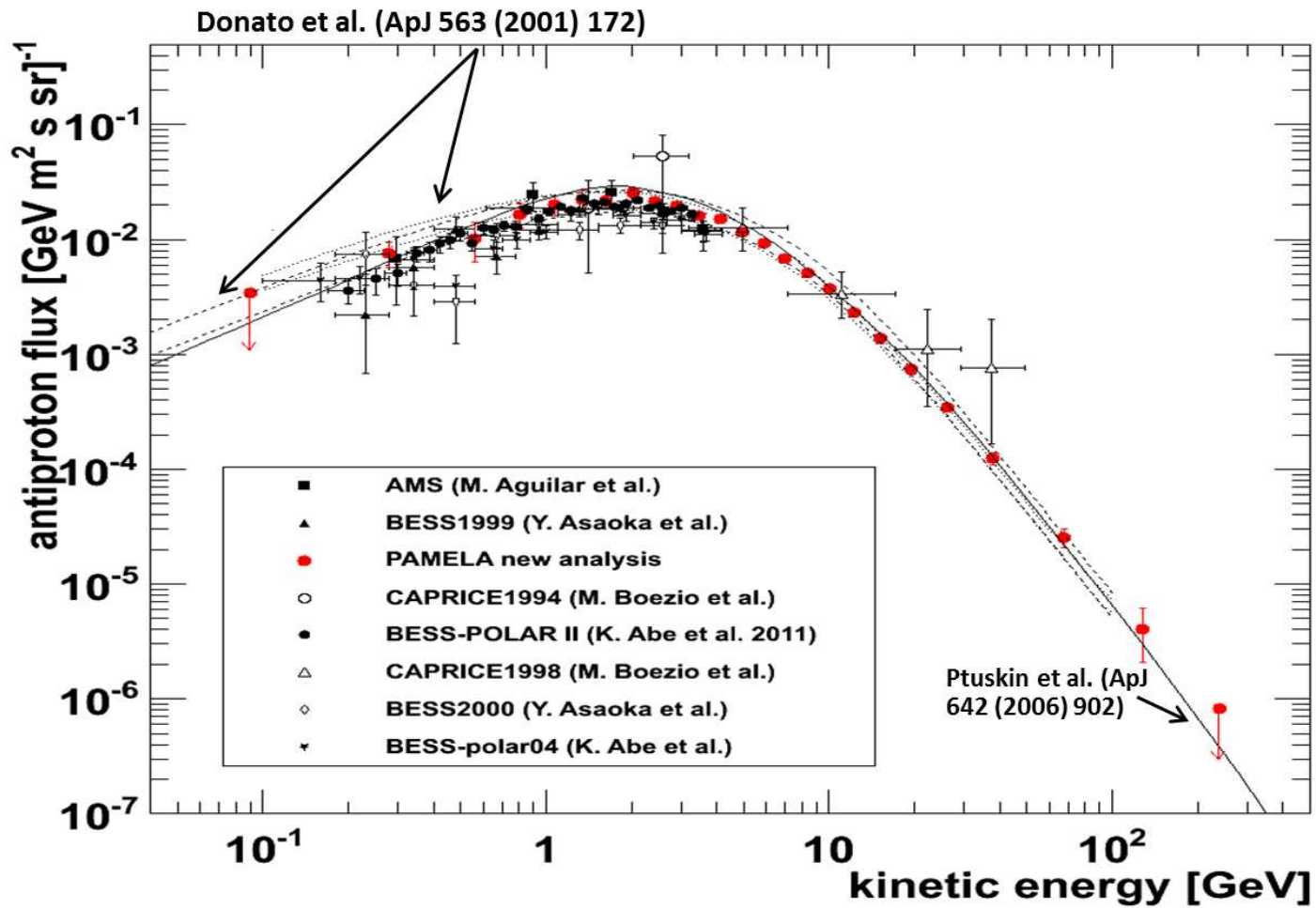
- Liczniki czasu przelotu (TOF) scyntylator + PMT
- spektrometr stały magnes i paskowe detektory krzemowe
- kalorymetr elektromagnetyczny wolfram i detektory krzemowe
- detektor neutronów

Rozmiar: $130 \times 70 \times 70 \text{ cm}^3$, 470 kg.

Zasilanie: 360 W.

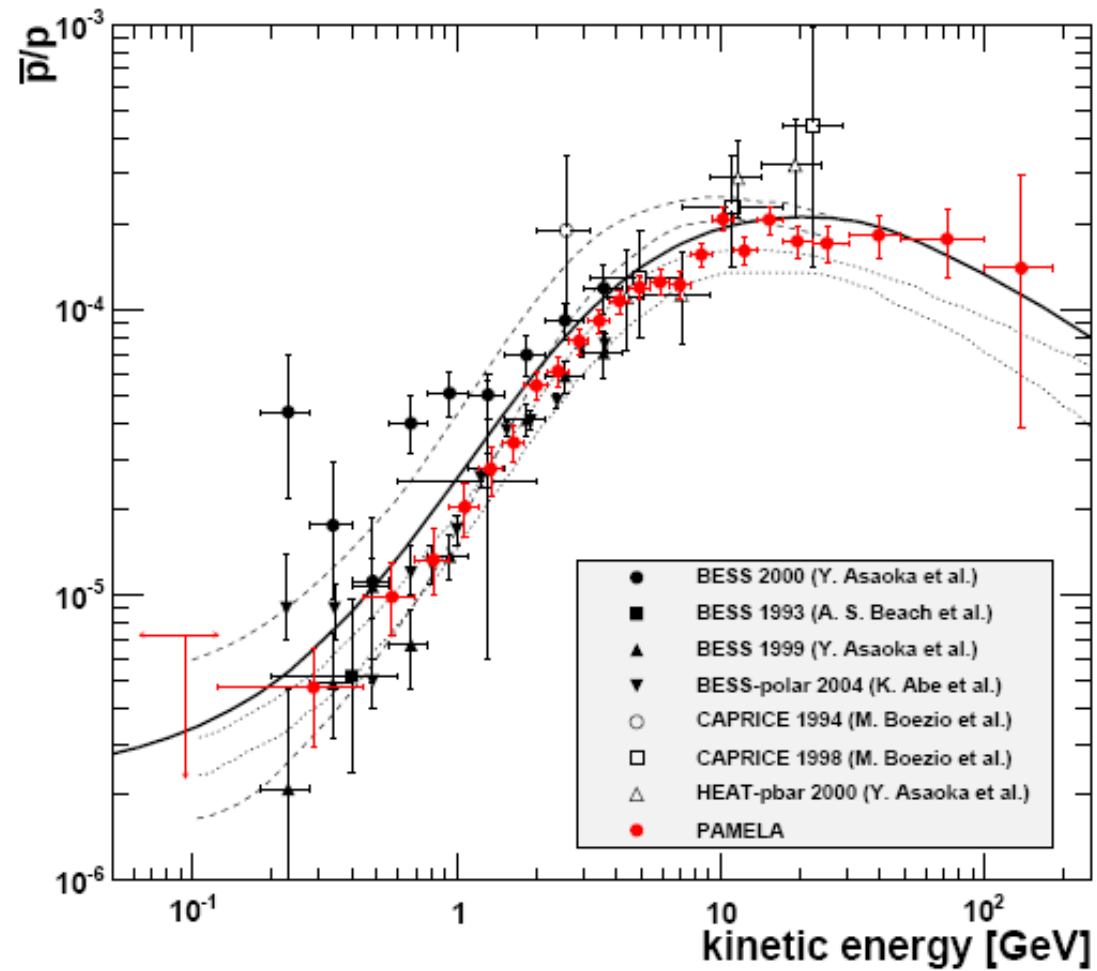
PAMELA

Wyniki pomiaru \bar{p}



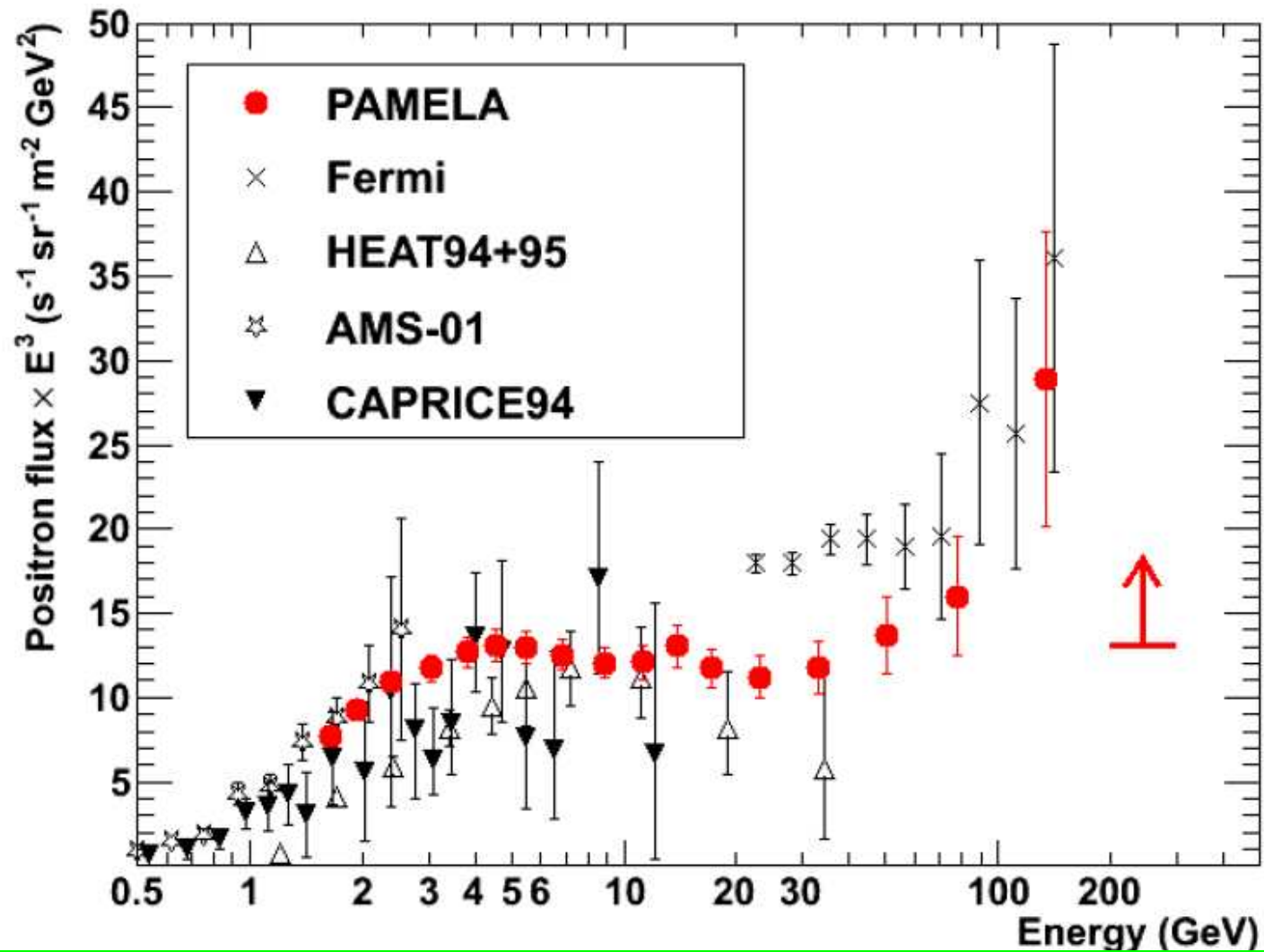
PAMELA

Wyniki pomiaru \bar{p}



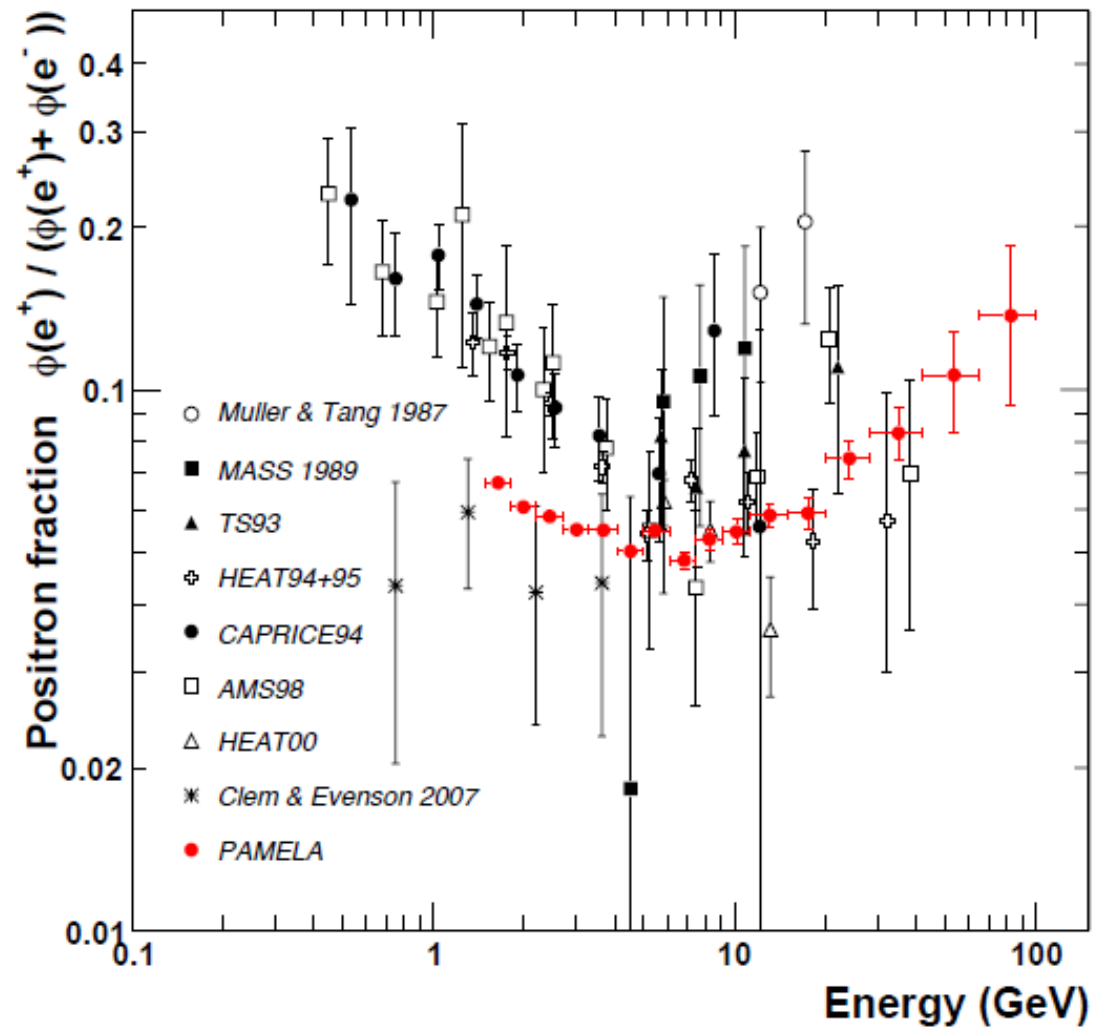
PAMELA

Wyniki pomiaru e^+



PAMELA

Wyniki pomiaru e^+



Detekcja pośrednia

AMS-02

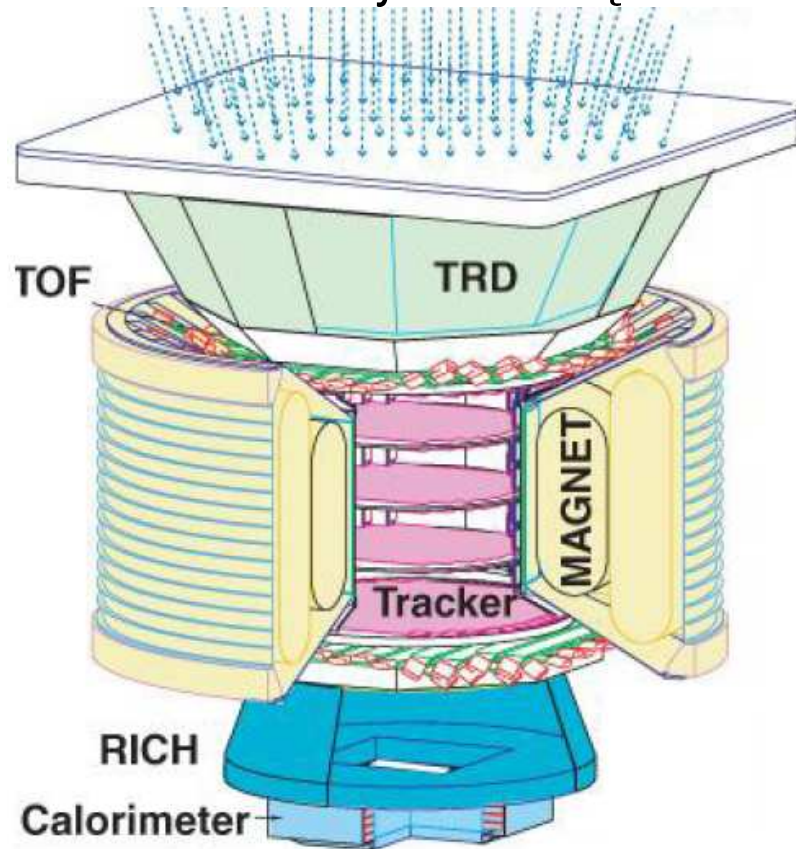
Eksperyment na Międzynarodowej Stacji Kosmicznej (ISS), uruchomiony w 2011.



AMS-02

Detektor orbitalny

Detektor uniwersalny strukturą bardzo podobny do eksperymentów HEP.



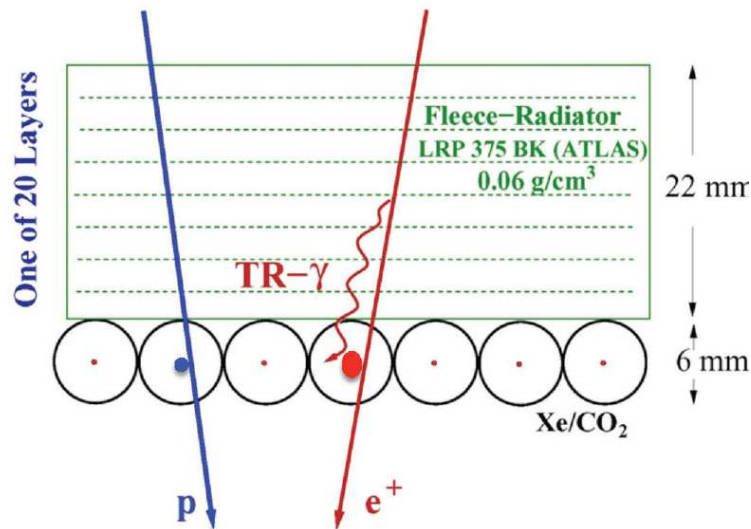
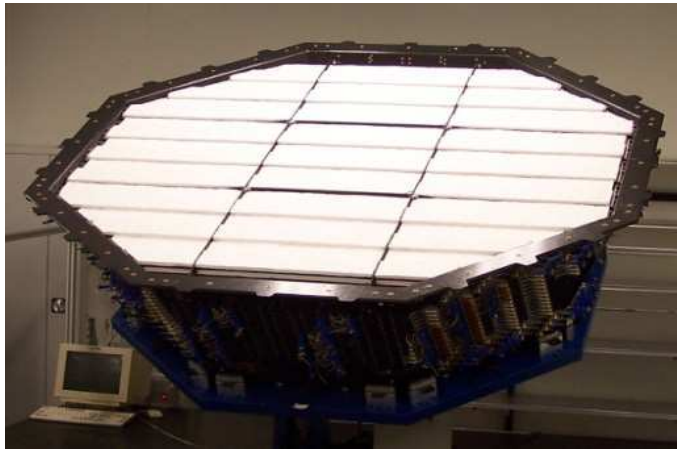
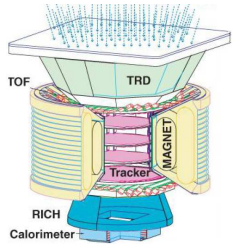
Znacznie większy niż PAMELA: $5 \times 4 \times 3 \text{ m}^3$, 7500 kg.

Różnorodne komponenty \Rightarrow dokładny pomiar i identyfikację cząstek.

AMS-02

TRD

Transition Radiation Detector



20 warstw detekcyjnych, każda złożona z radiatora i komór słomkowych

Prawdopodobieństwo emisji proporcjonalne do czynnika Lorentza (γ) cząstki.

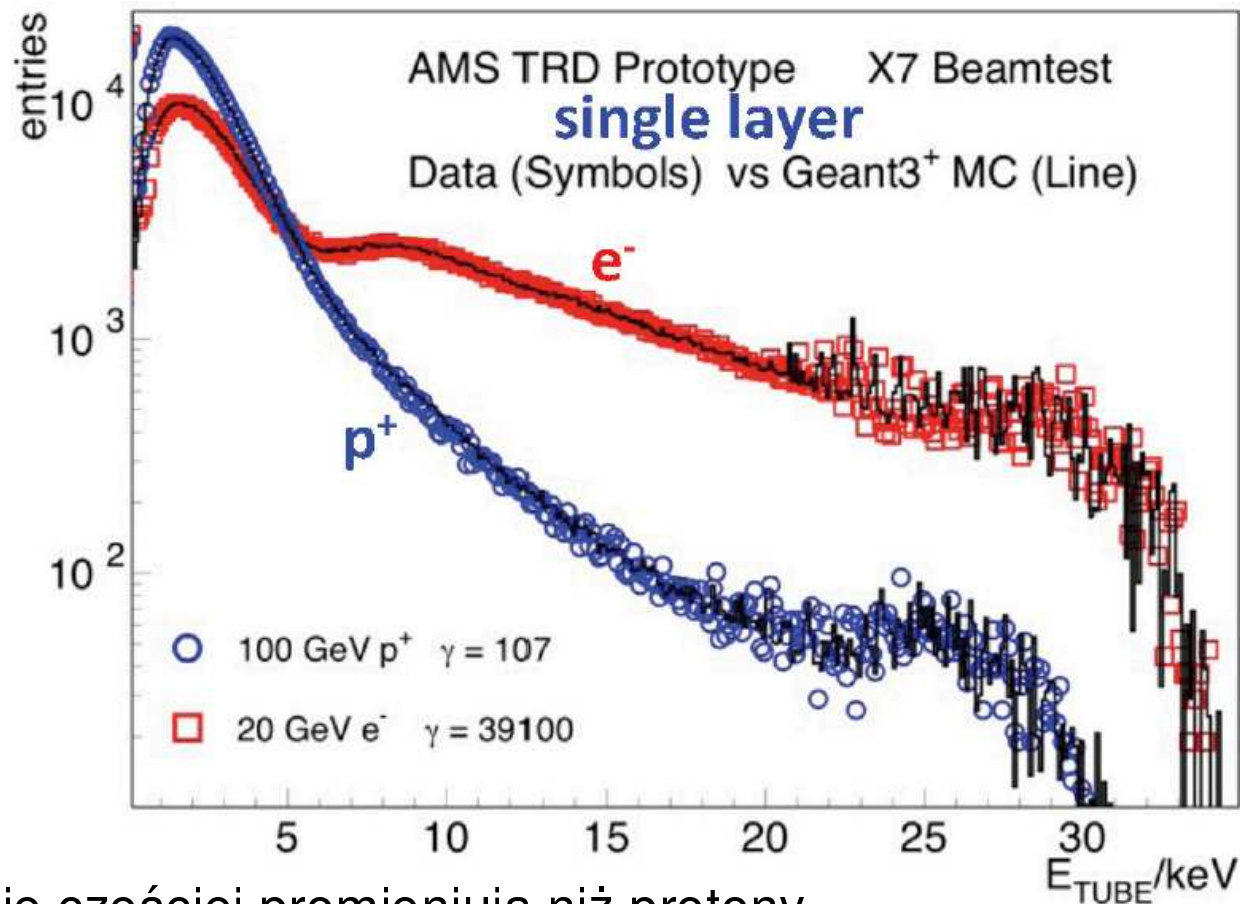
⇒ dla danej energii znacznie większe dla e^{\pm} niż innych cząstek

⇒ indetyfikacja e^{\pm}

AMS-02

TRD

Wyniki testów na wiązce SPS w CERN (pojedyncza warstwa):

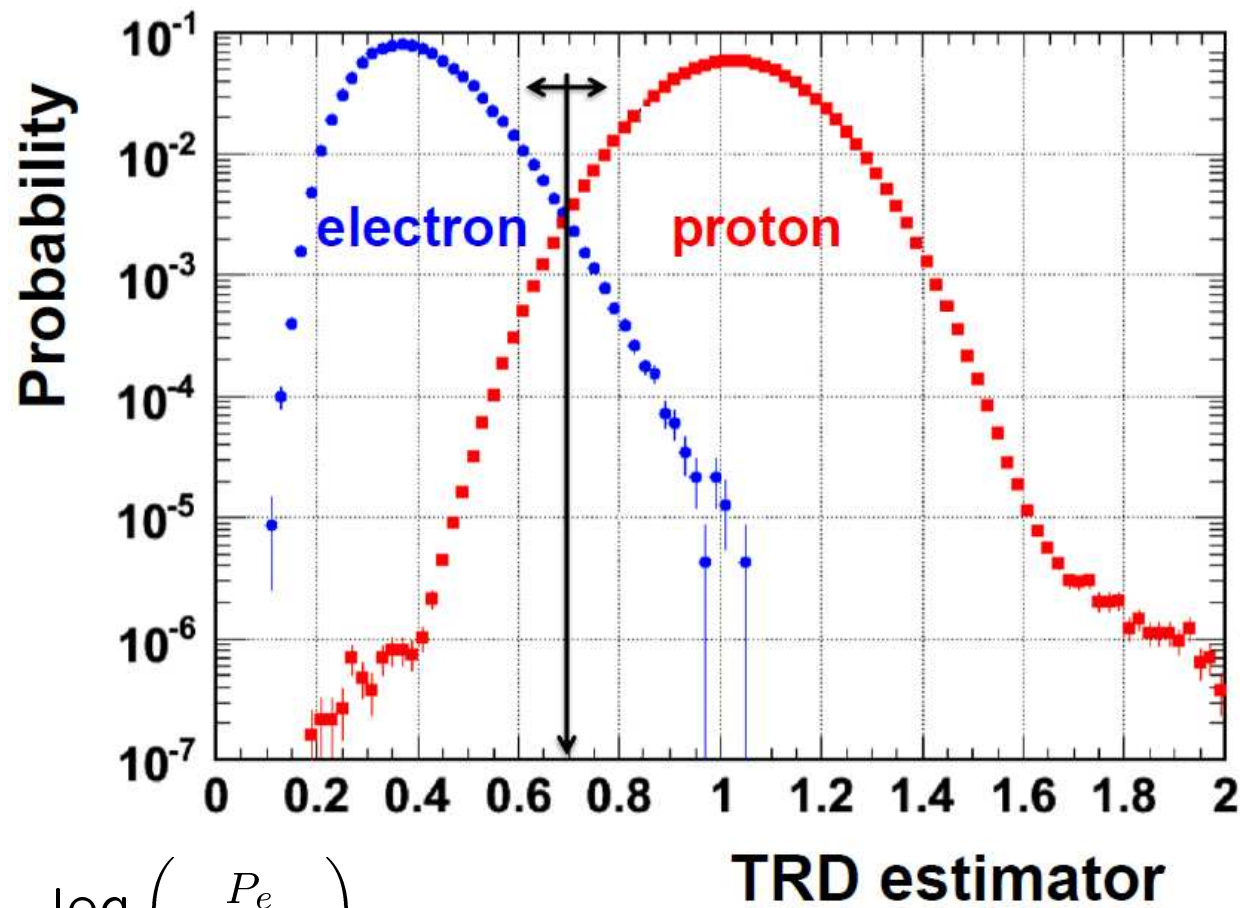


Elektrony znacznie częściej promieniują niż protony.
Choć w jednej warstwie najczęściej brak jest sygnału...

AMS-02

TRD

Wynik analizy sygnałów z 20 warstw (dane zebrane na ISS):

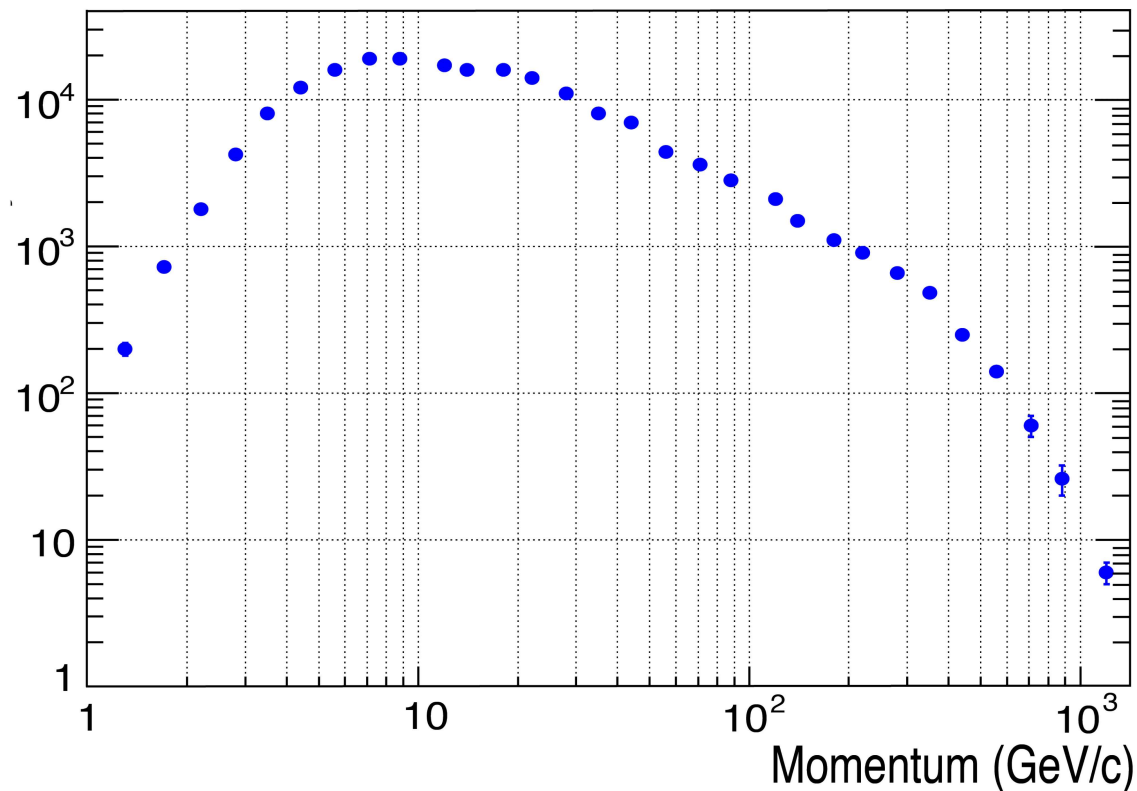


$$\text{TRD estimator} = -\log\left(\frac{P_e}{P_e + P_p}\right)$$

AMS-02

TRD

Wynik analizy sygnałów z 20 warstw (dane zebrane na ISS)
czynnik redukcji tła protonów (przy efektywności selekcji pozytonów 90%):

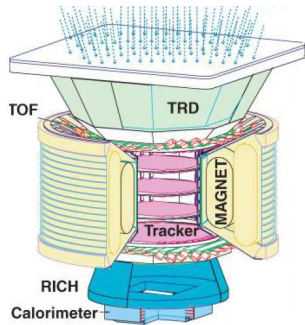


TRD pozwala na redukcję tła protonów (w pomiarze e^+ z eff. = 90%) o czynnik do $\sim 10^4$

AMS-02

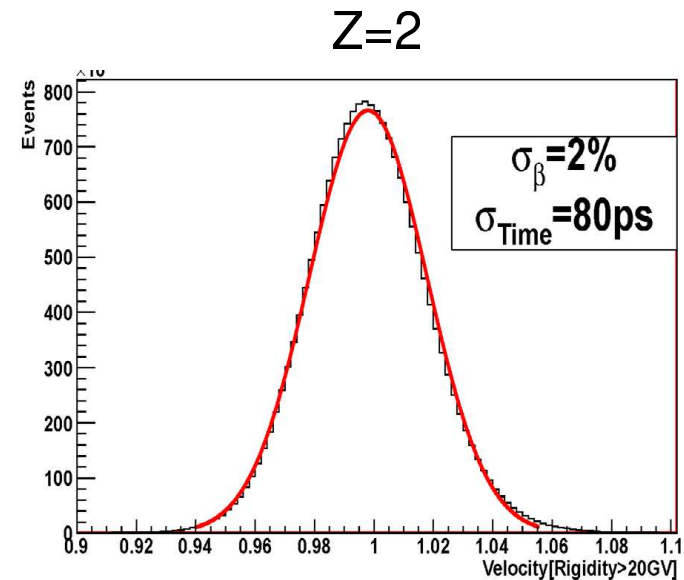
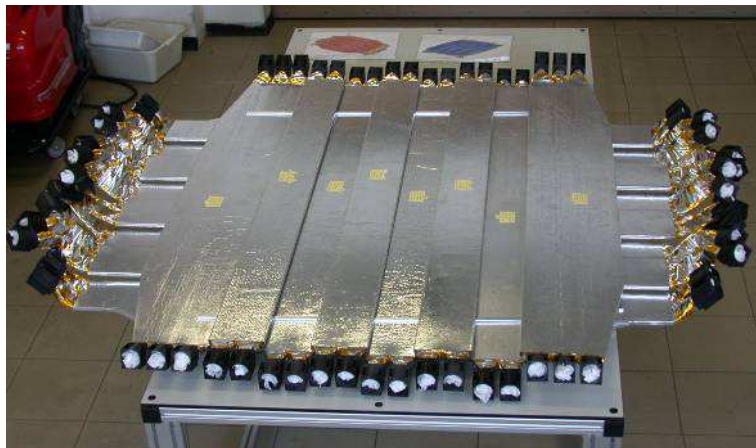
TOF

Time-Of-Flight detector



Pozwalają na pomiar prędkości cząstek, a także ich ładunku (na podstawie $\frac{dE}{dx}$)

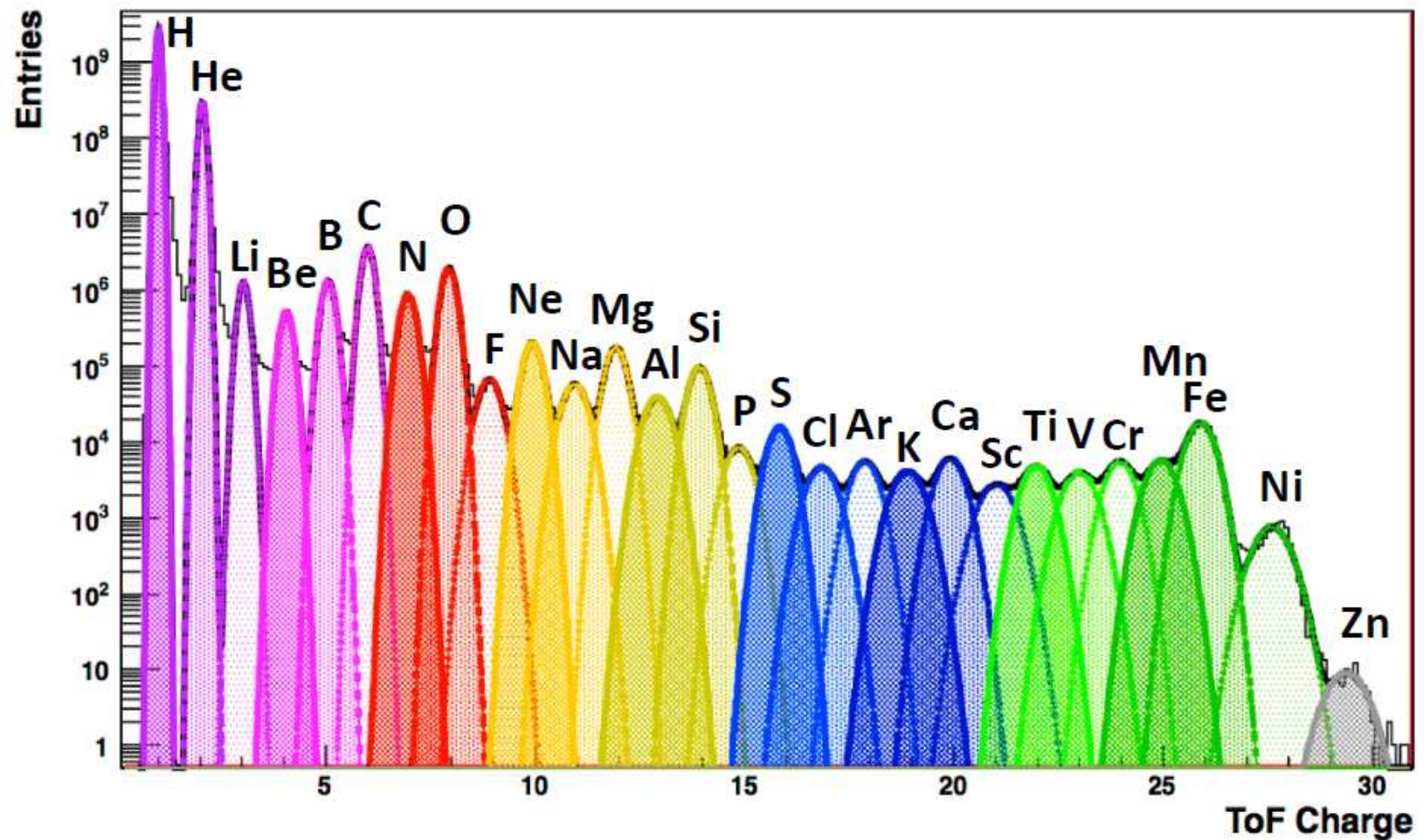
Przykład pomiaru prędkości dla cząstek z $p/q > 20 \text{ GeV}/c$



AMS-02

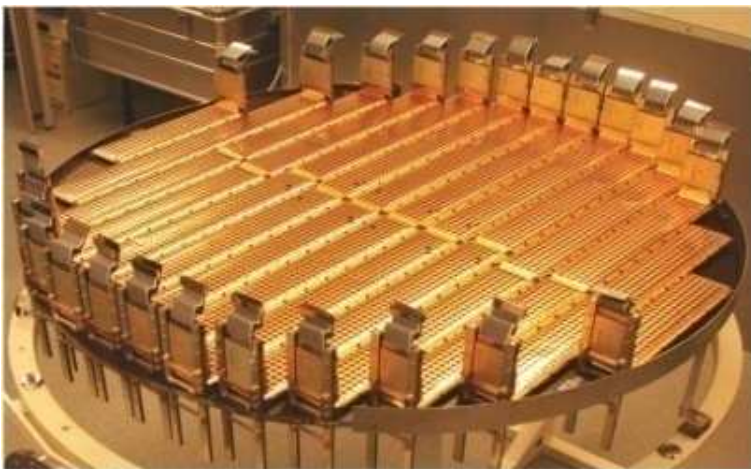
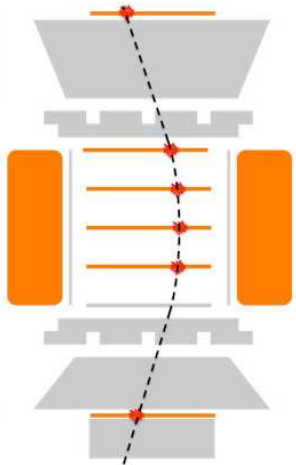
TOF

Rozkład zmierzonych ładunków cząstek wraz z dopasowaniem:



AMS-02

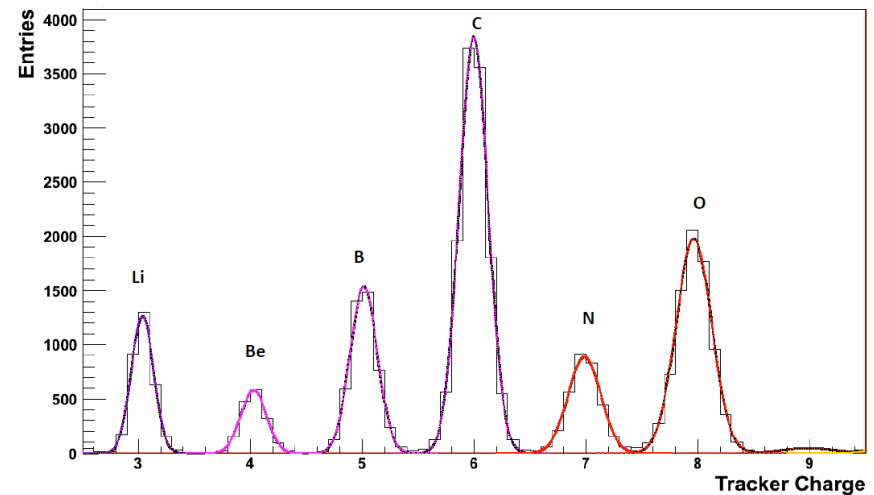
Spektrometr



9 warstw detektrów krzemowych o $\sigma \approx 10 \mu m$
Wykorzystując pole magnetyczne (stały magnes)
pozwalają na pomiar pędu (p/q) cząstek.

Ładunek może być wyznaczony na podstawie $\frac{dE}{dx}$

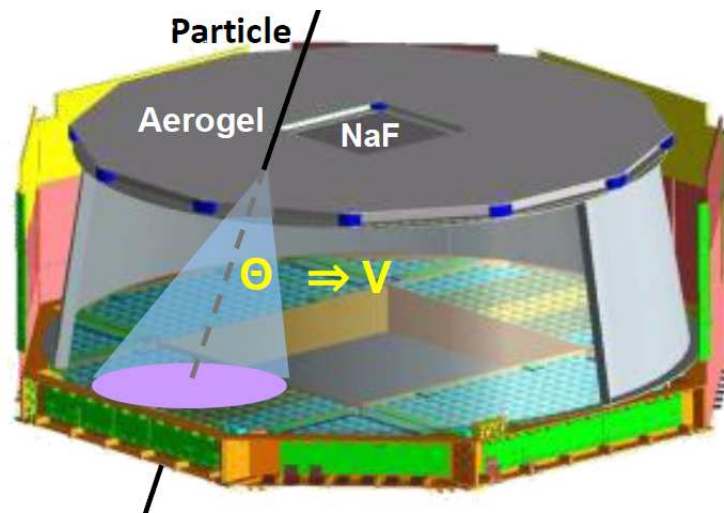
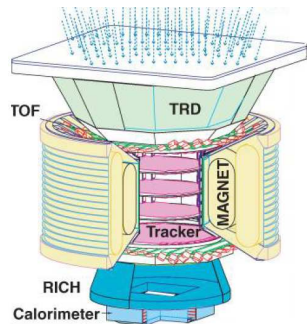
Przykład pomiaru ładunku



AMS-02

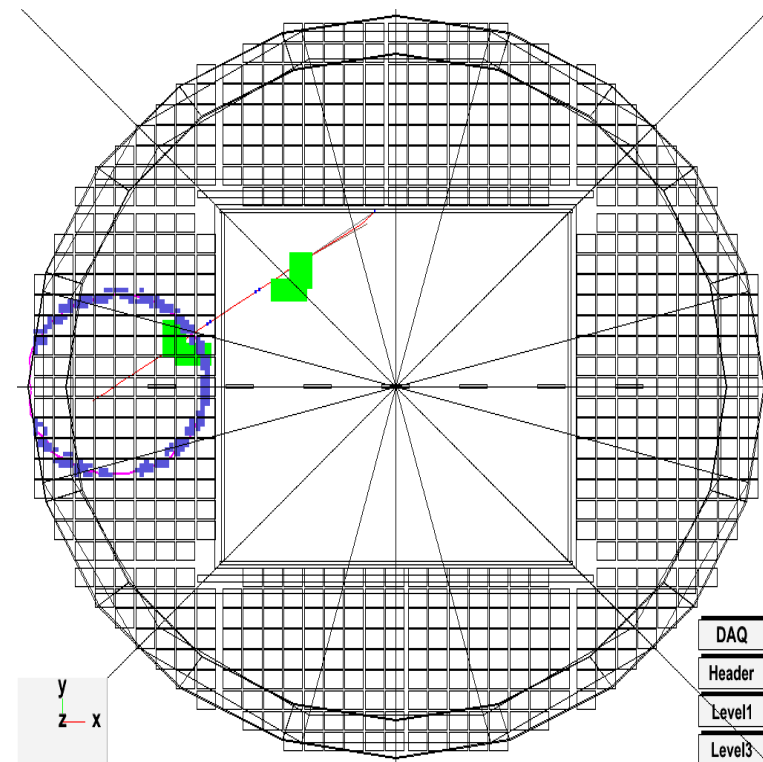
RICH

Ring Imaging Cherenkov counter



Pozwala na pomiar prędkości cząstek.

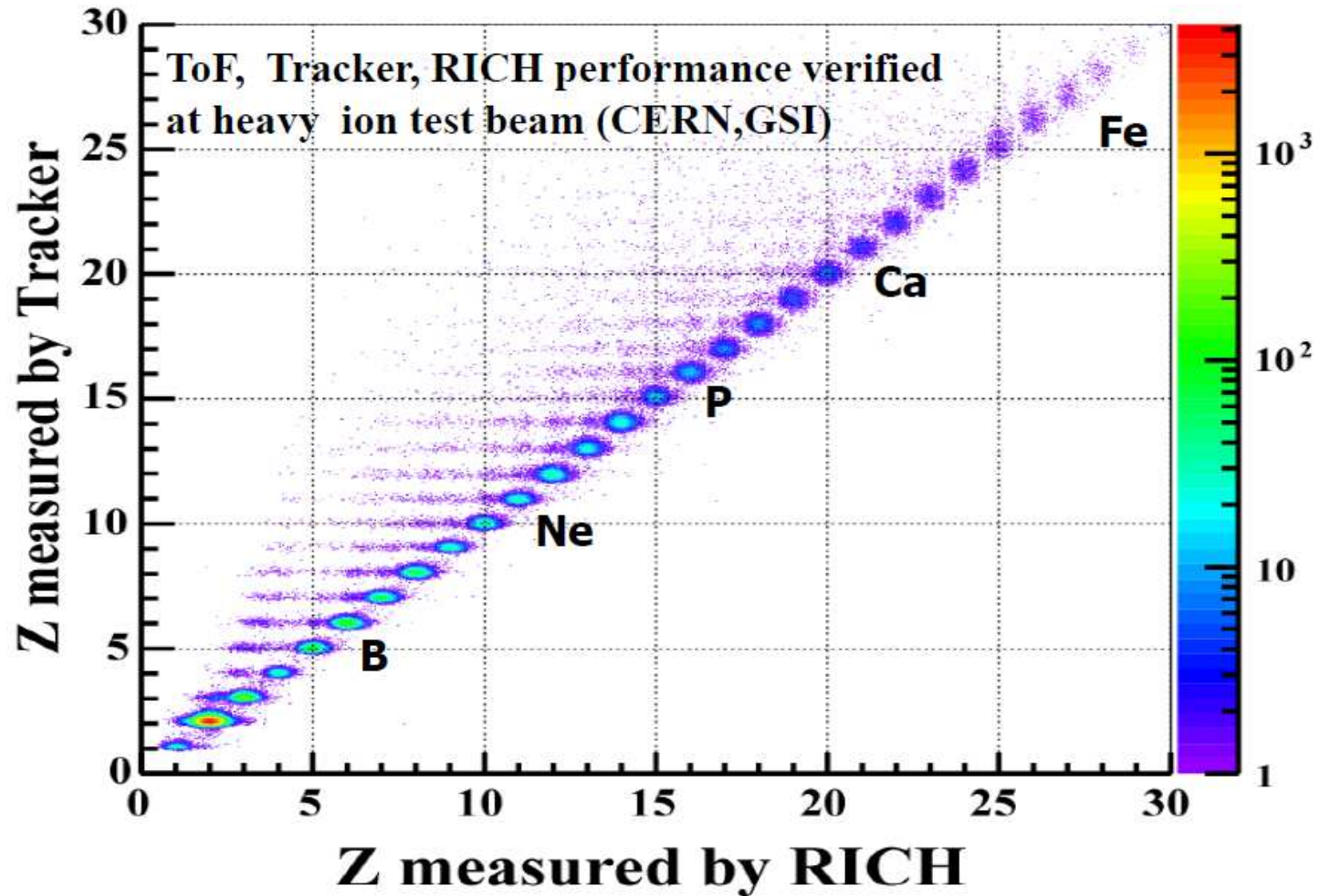
Przykładowy przypadek rejestracji jądra Al:



AMS-02

RICH

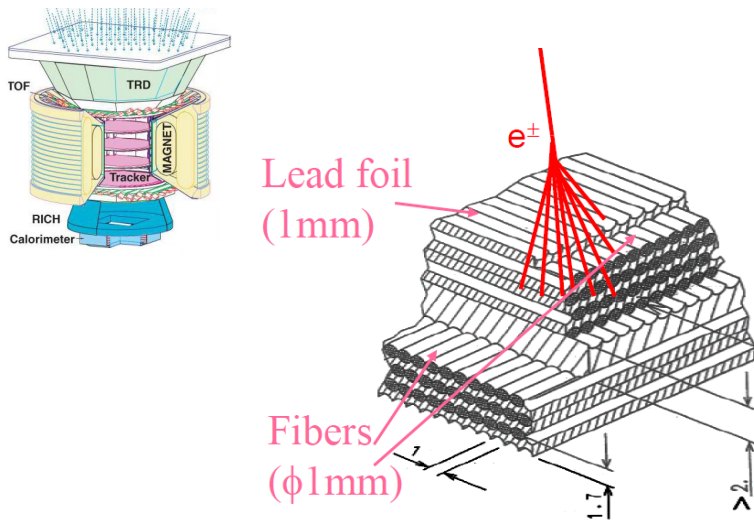
Pozwala także na pomiar ładunku przechodzącej cząsteczki (jonu):



AMS-02

ECAL

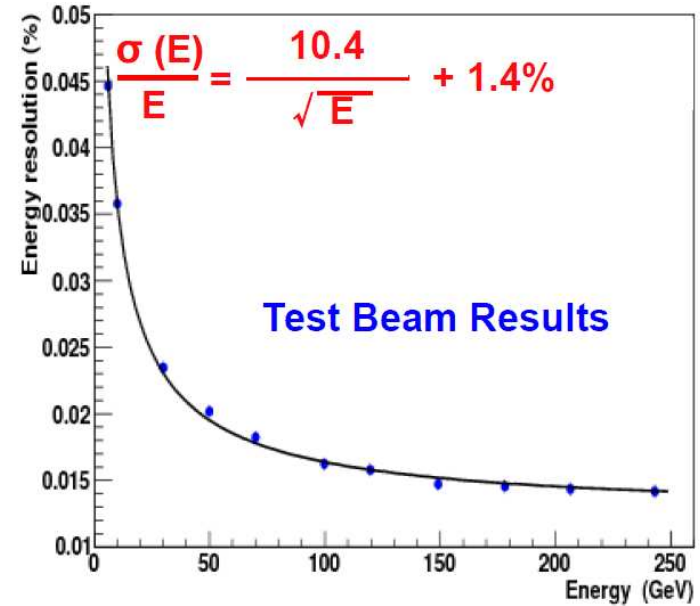
Kalorymtr elektromagnetyczny



600 kg ołowiu ($17 X_0$)

poprzetykane włóknami scyntylującymi $\phi = 1 \text{ mm}$

⇒ dokładny pomiar energii,
kierunku oraz **profilu** kaskady w 3-D

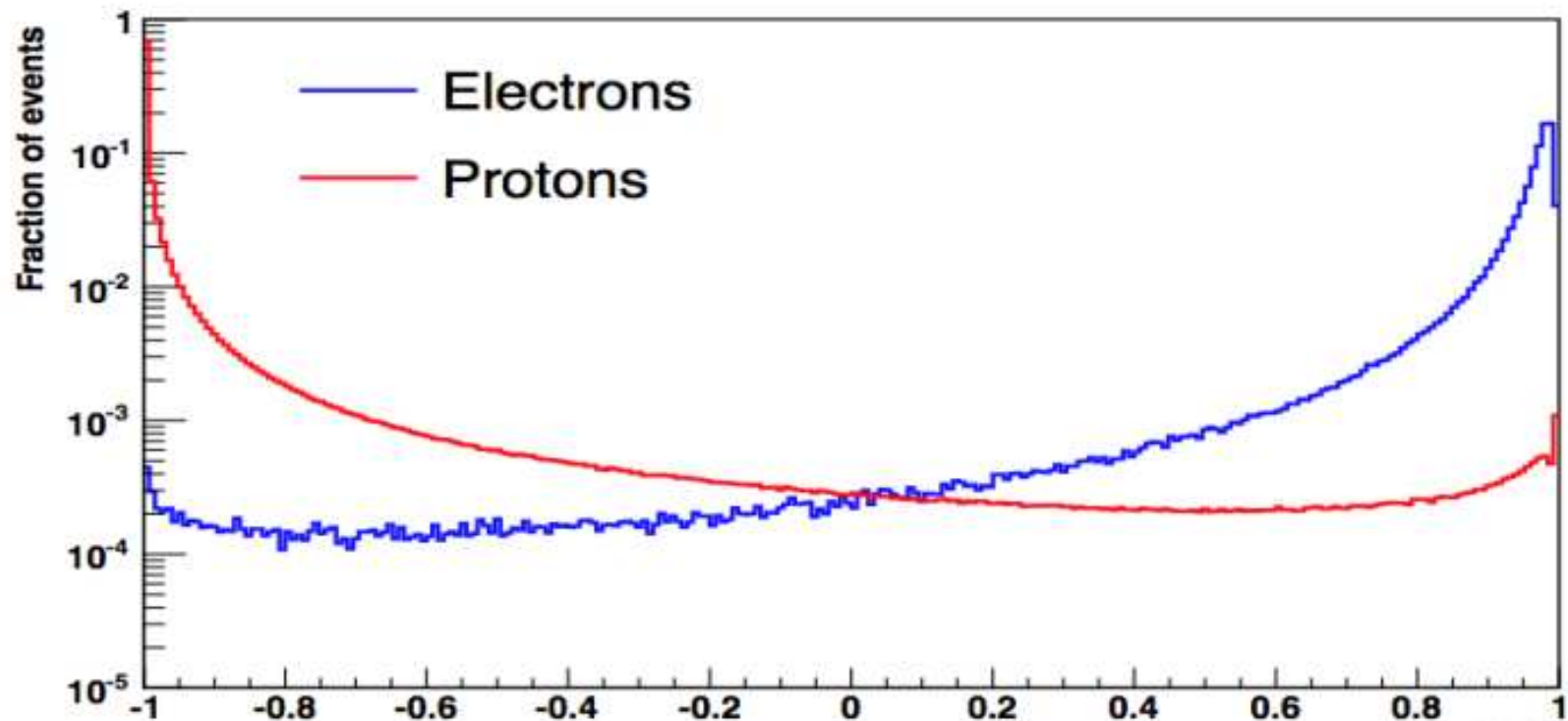


AMS-02

ECAL

Dyskryminacja między elektronami i protonami, dane 83-100 GeV

Analiza kształtu kaskady w kalorymetrze: wynik działania Boosted Decision Tree (BDT)



Kształt kaskady zapewnia bardzo dobrą separację e^{\pm} od tła hadronowego (skala log!)

AMS-02

Detektor orbitalny

Detektor AMS-02 zapewnia bardzo dokładny pomiar i identyfikację cząstek.

Wiele wielkości może być mierzonych na różne sposoby:

- ładunek: TOF, spektrometr, RICH
- prędkość: TOF, RICH
- pęd/energia: spektrometr, kalorymetr
- identyfikacja e^{\pm} : TRD, spektrometr, kalorymetr

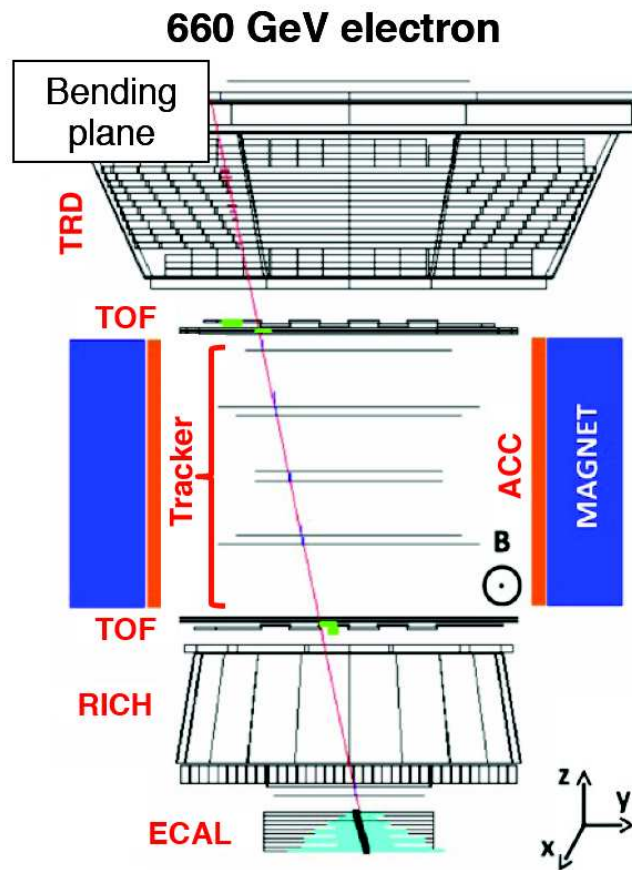
Wykorzystanie różnorodnych i komplementarnych technik pomiarowych znacząco redukuje tło i błędy systematyczne

⇒ po raz pierwszy promieniowanie kosmiczne zmierzone z niepewnością 1%

AMS-02

Identyfikacja cząstek

Korzystając z licznych detektorów można bardzo dobrze indentyfikować cząstki

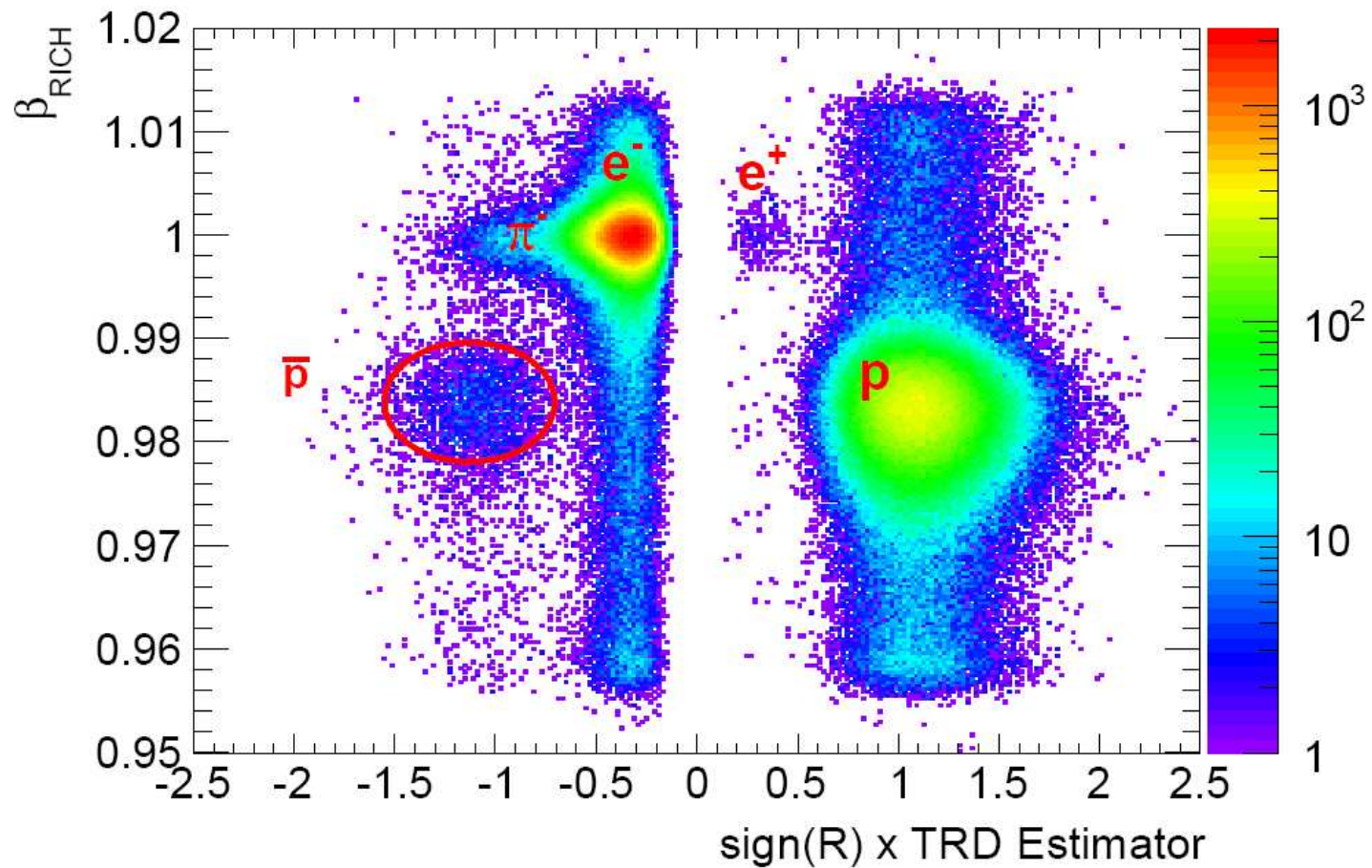


	e^+	e^-	p	\bar{p}	He	\bar{He}
TRD 20 layers						
TOF 4 layers						
TRK 9 layers						
RICH						
ECAL 18 layers						

AMS-02

Identyfikacja e^\pm

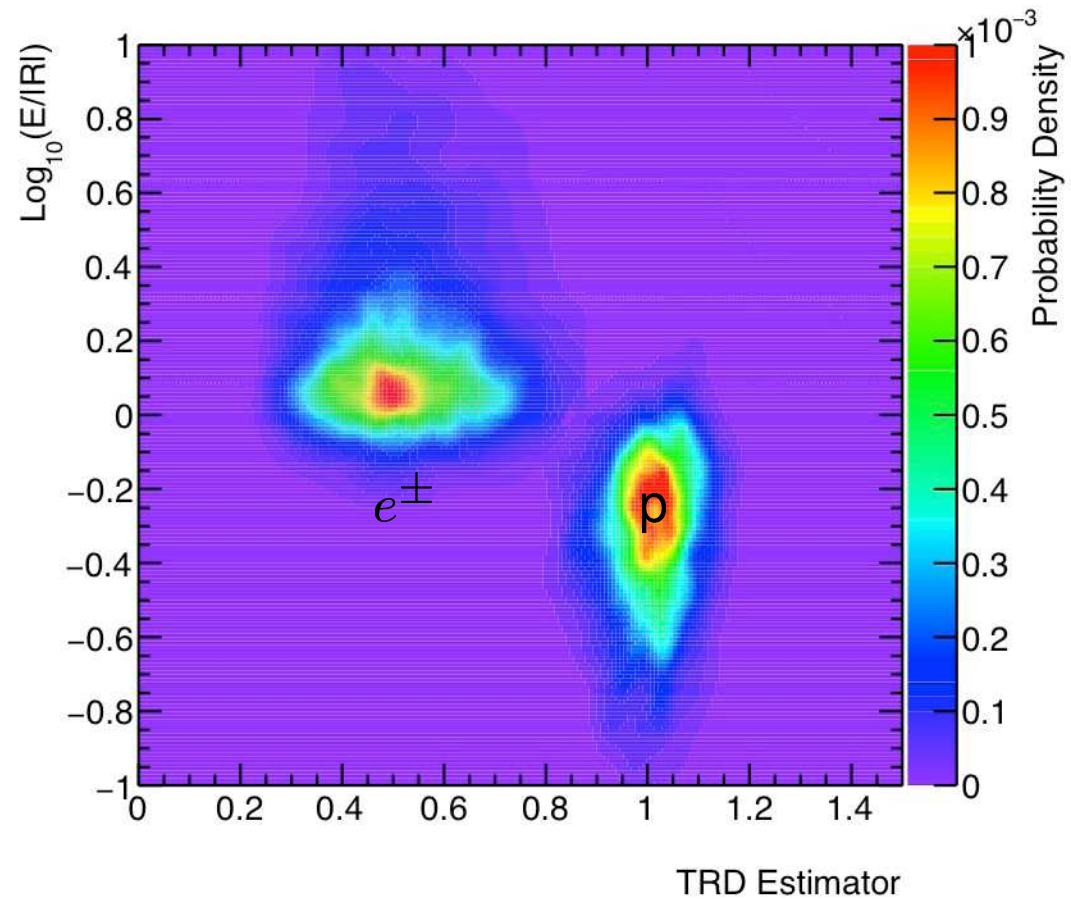
Korelacja prędkości z RICH i sygnału promieniowania przejścia



AMS-02

Identyfikacja e^\pm

Stosunek energii do pędu cząstki w funkcji sygnału promieniowania przejścia

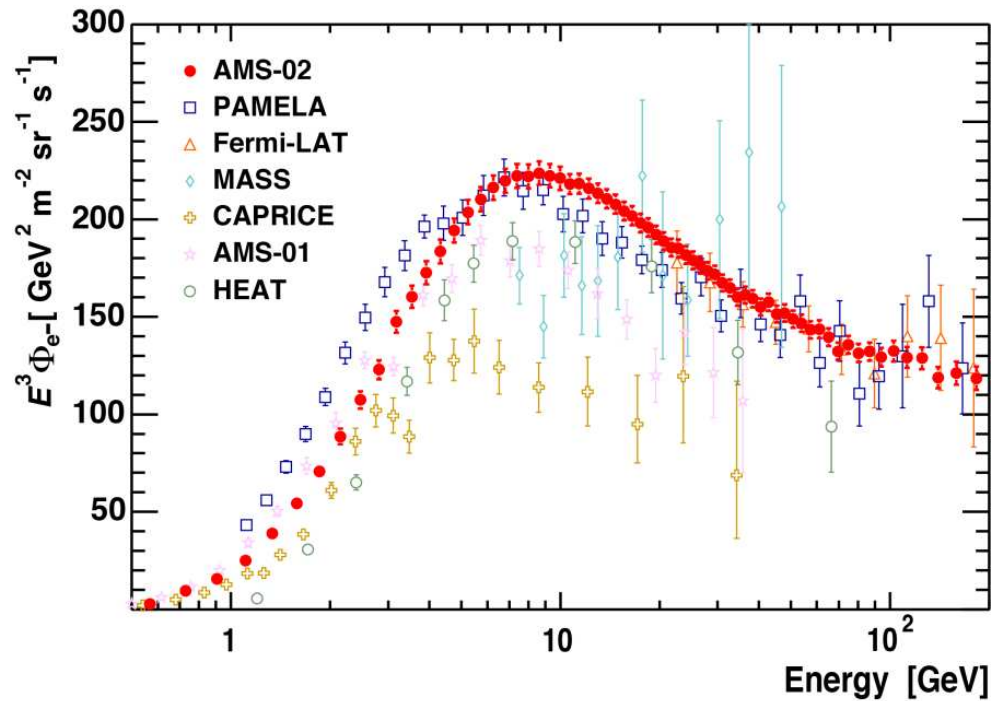


AMS-02

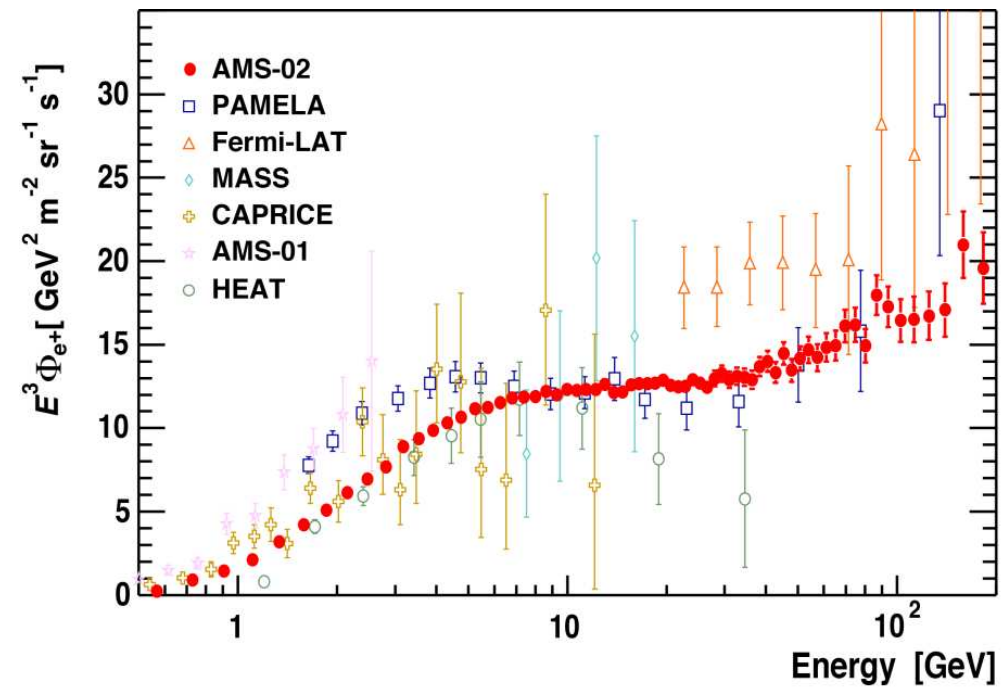
Wyniki e^\pm

Strumień promieniowania kosmicznego wyznaczone z dużo większą dokładnością niż było to poprzeczo możliwe - nowa jakość w badaniach.

Strumień elektronów



Strumień pozytonów

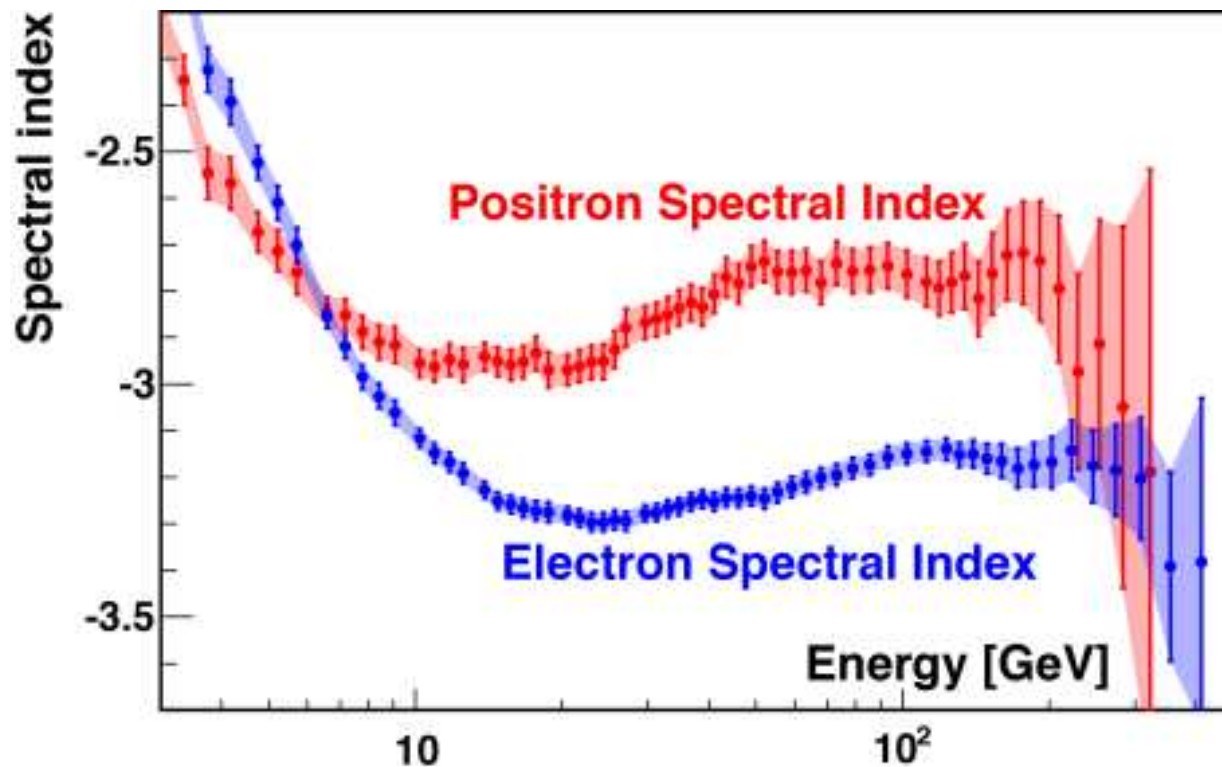


AMS-02

Wyniki e^\pm

Strumienie pozytonów i elektronów inaczej zależą od energii

$$\text{Spectral index} = \frac{d \log \Phi}{d \log E}$$



W zakresie od ok. 7 do 300 GeV strumień pozytonów maleje wolniej niż elektronów...

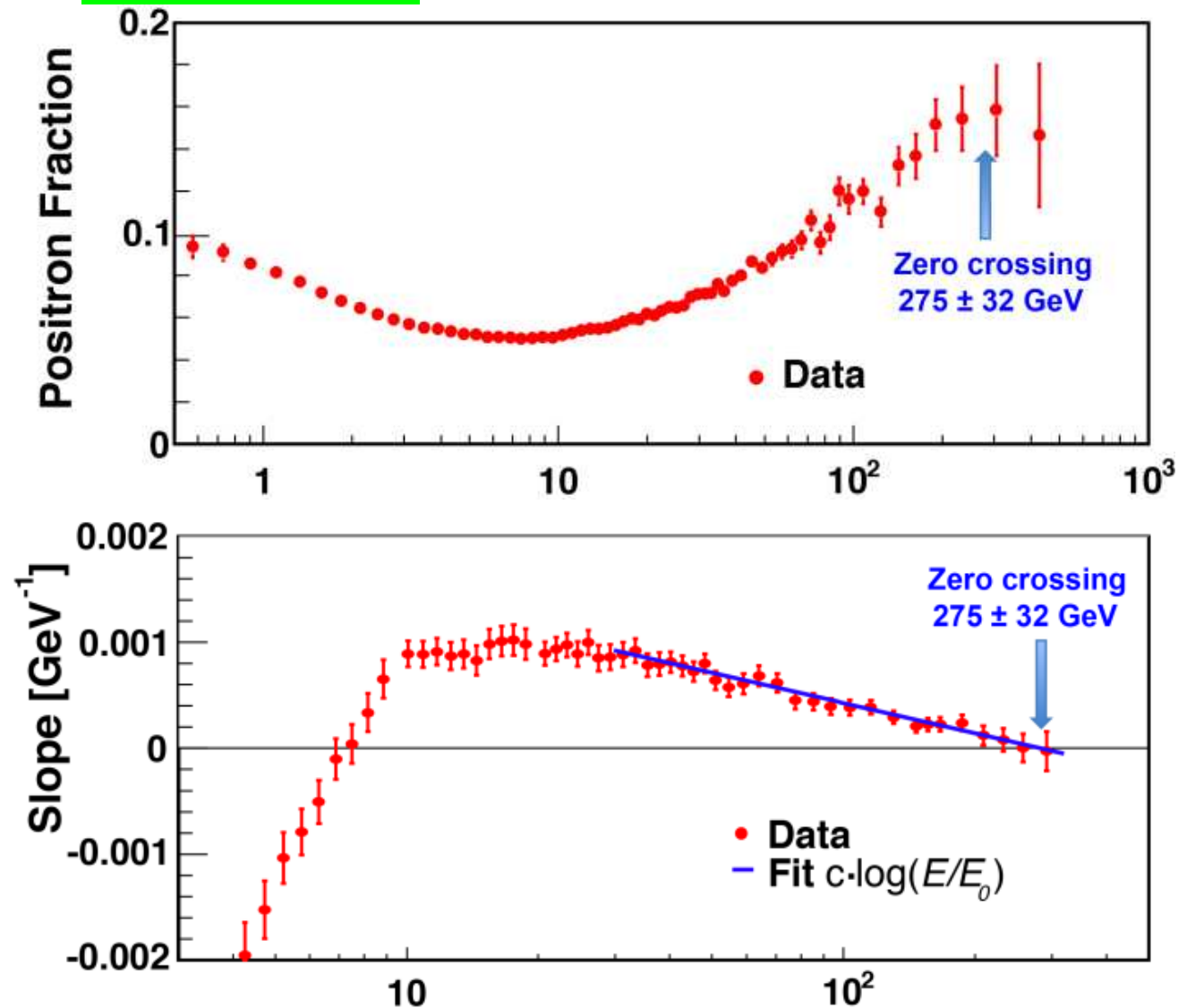
AMS-02

Wyniki e^\pm

Przy zmianie energii od ok. 7 do ok. 300 GeV stosunek pozytonów do elektronów rośnie ok. 3 razy!

Ale nie widać “odcięcia”!...

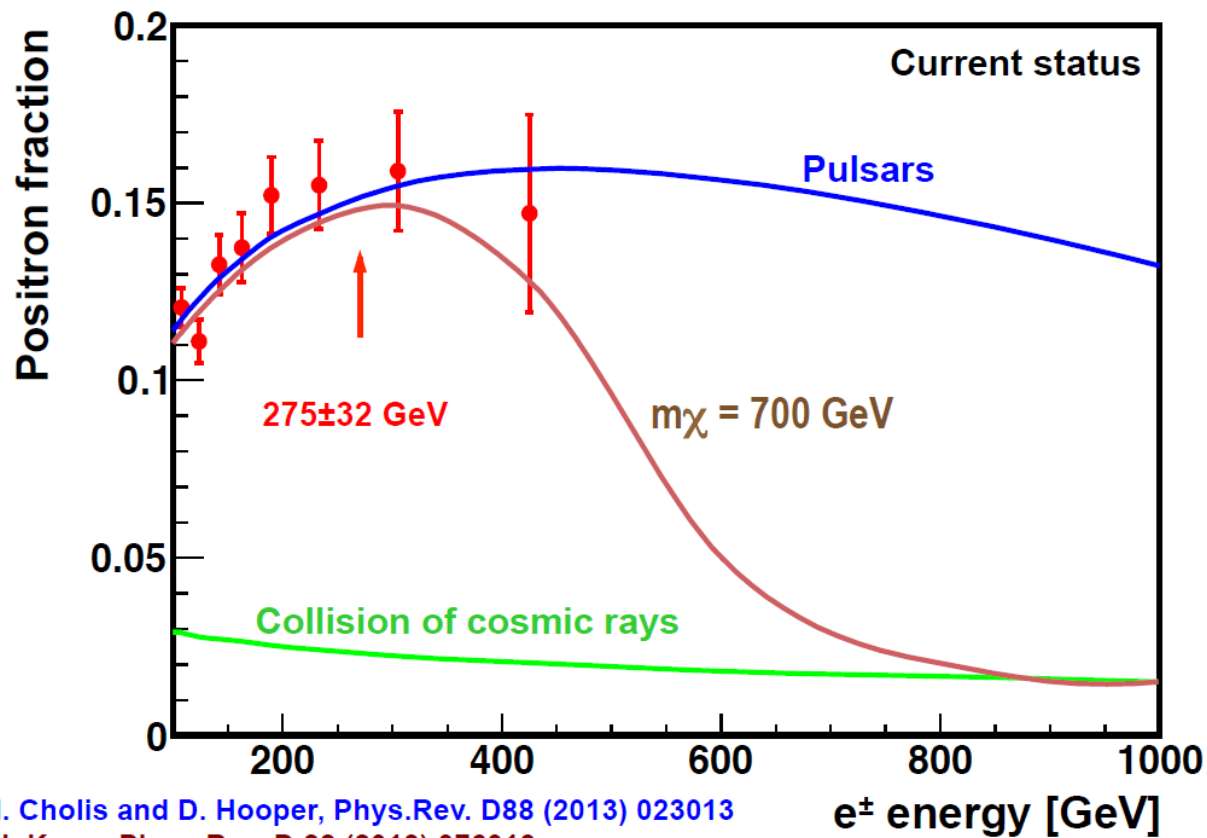
Nie widać struktur...



AMS-02

Wyniki e^\pm

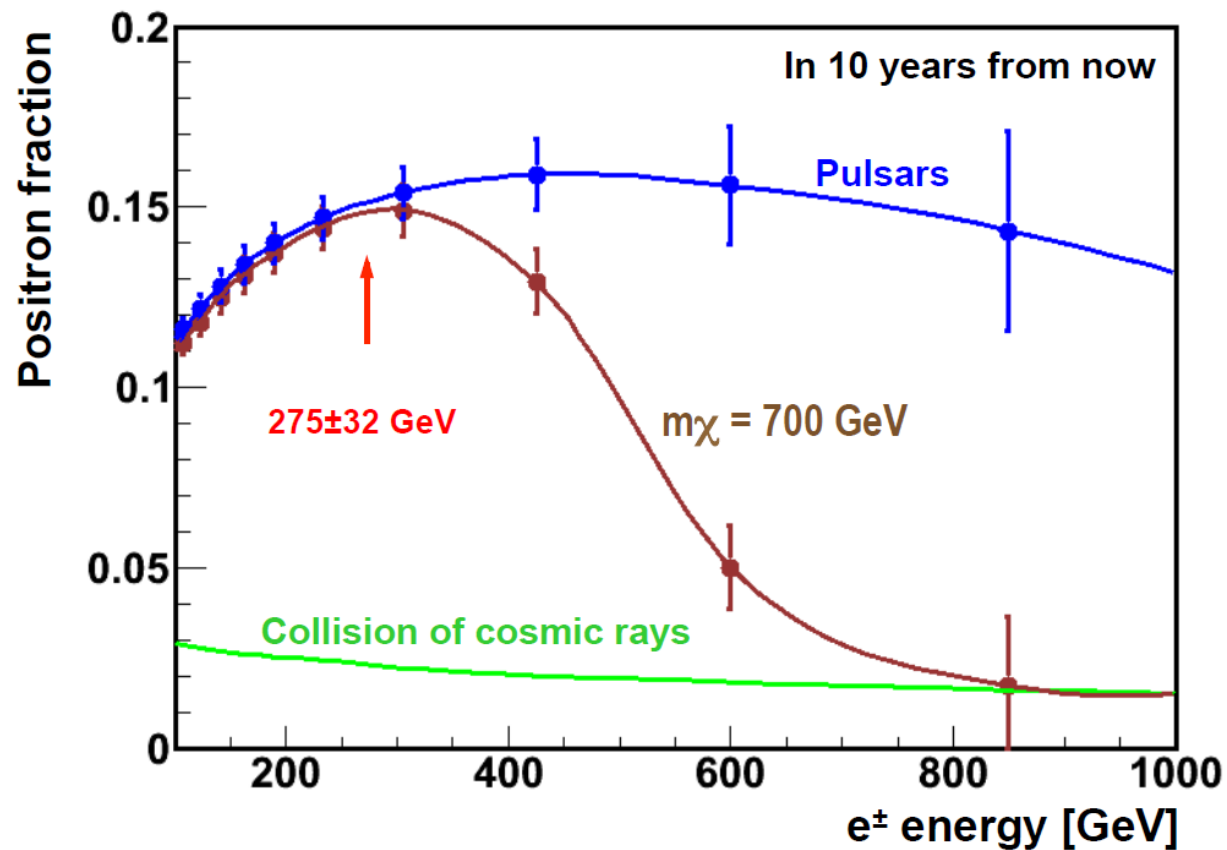
Obserwowany wzrost stosunku pozytonów do elektronów zgodny jest z hipotezą anihilacji cząstek ciemnej materii. Ale nie tylko.



AMS-02

Wyniki e^\pm

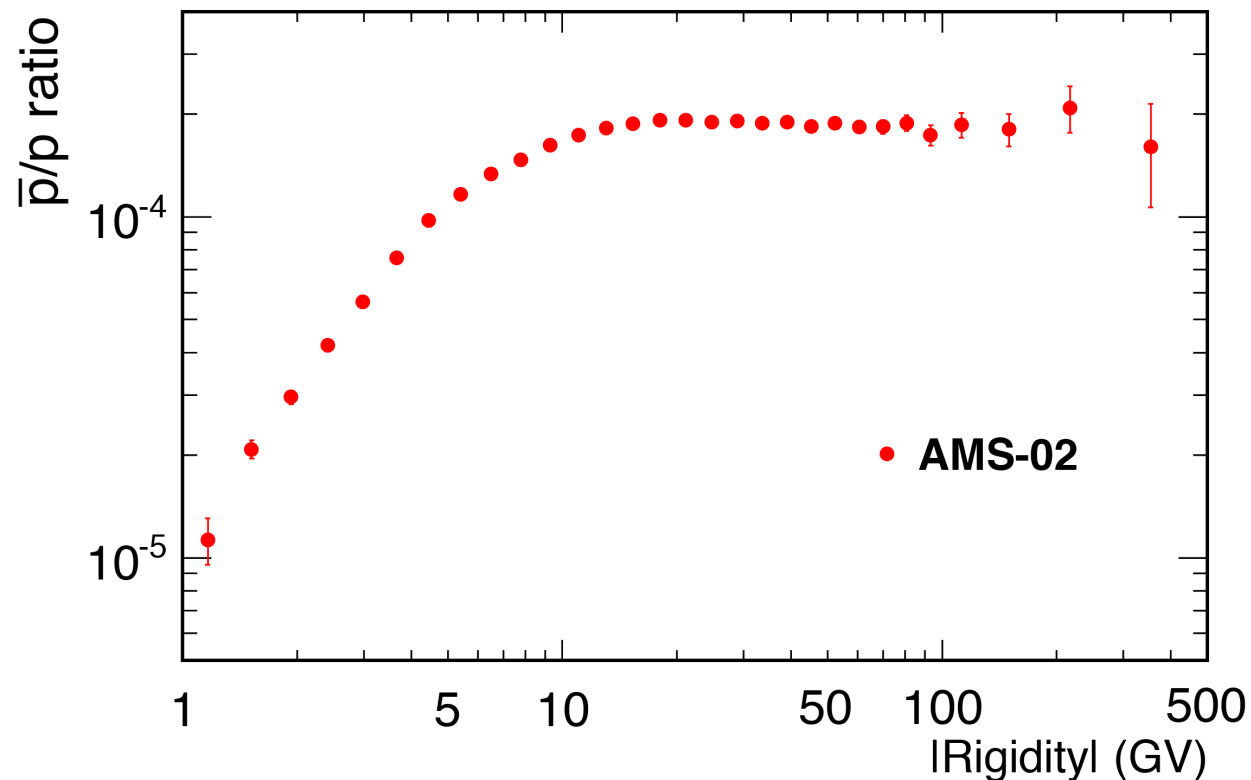
Obserwowany wzrost stosunku pozytonów do elektronów zgodny jest z hipotezą **anihilacji cząstek ciemnej materii**. Ale nie tylko. Potrzeba więcej danych...



AMS-02

Antyprotony

Uzyskano także bardzo dokładne wyniki dotyczące widma antyprotonów (antywodoru).
Dla energii powyżej ok. 10 GeV obserwujemy stały stosunek \bar{p}/p .

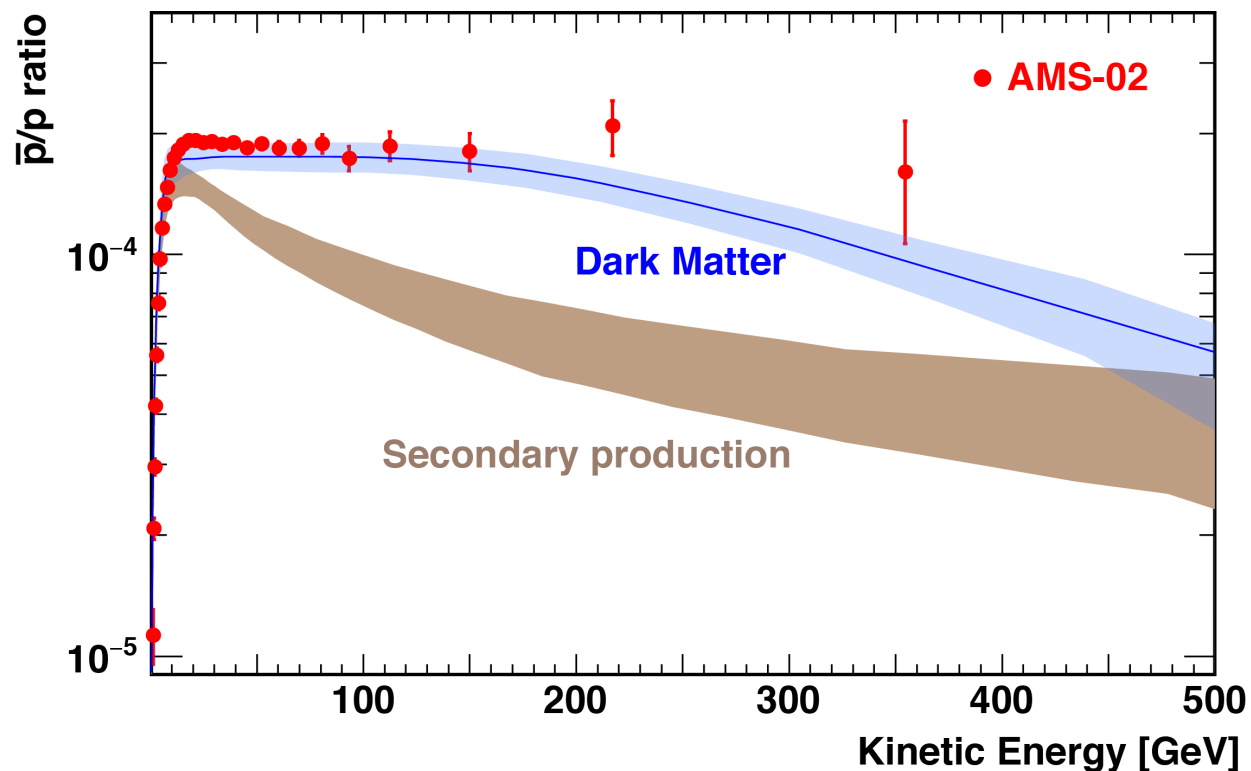


AMS-02

Antyprotony

Uzyskano także bardzo dokładne wyniki dotyczące widma antyprotonów (antywodoru). Dla energii powyżej ok. 10 GeV obserwujemy stały stosunek \bar{p}/p .

Jest to również zgodne z hipotezą [anihilacji cząstek ciemnej materii](#)...

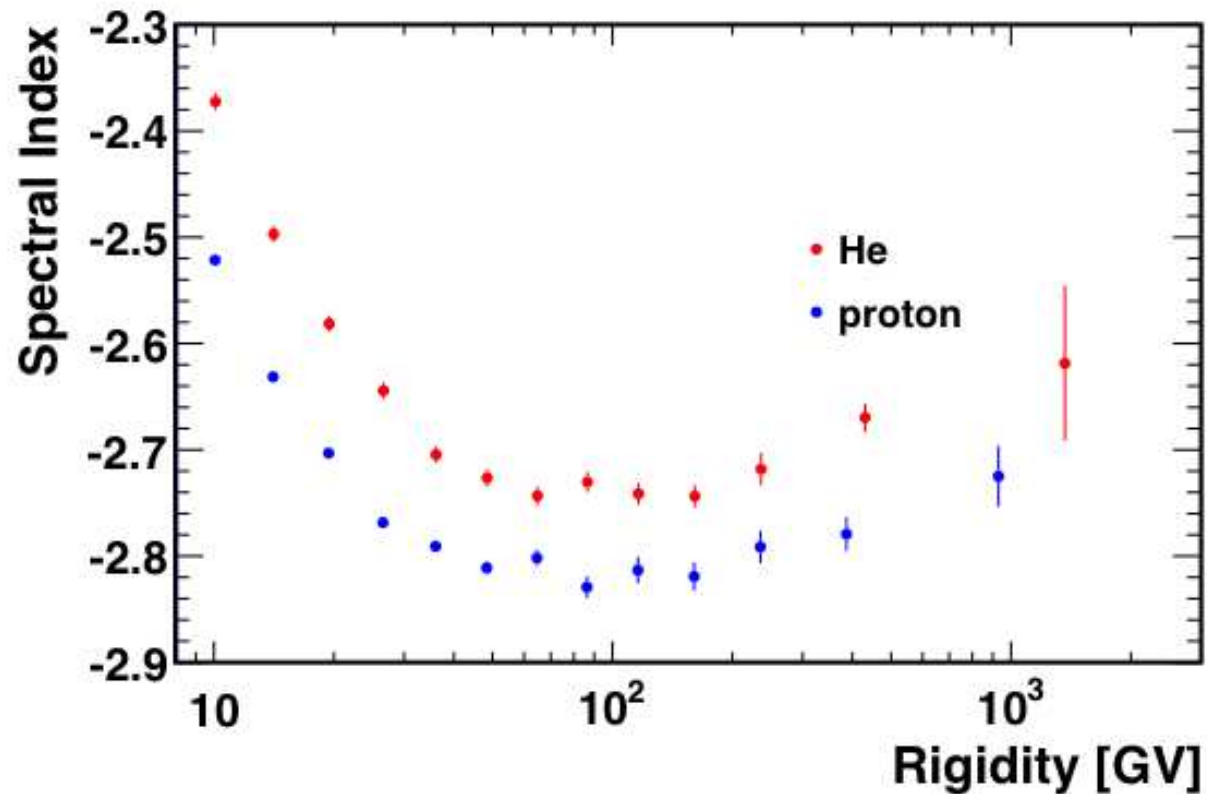


AMS-02

Lekkie jądra

Dla energii powyżej 100 GeV obserwujemy także zmiany w kształcie widma dla protonów (wodoru), helu i litu

Może to świadczyć o innych mechanizmach produkcji w tym zakresie energii...

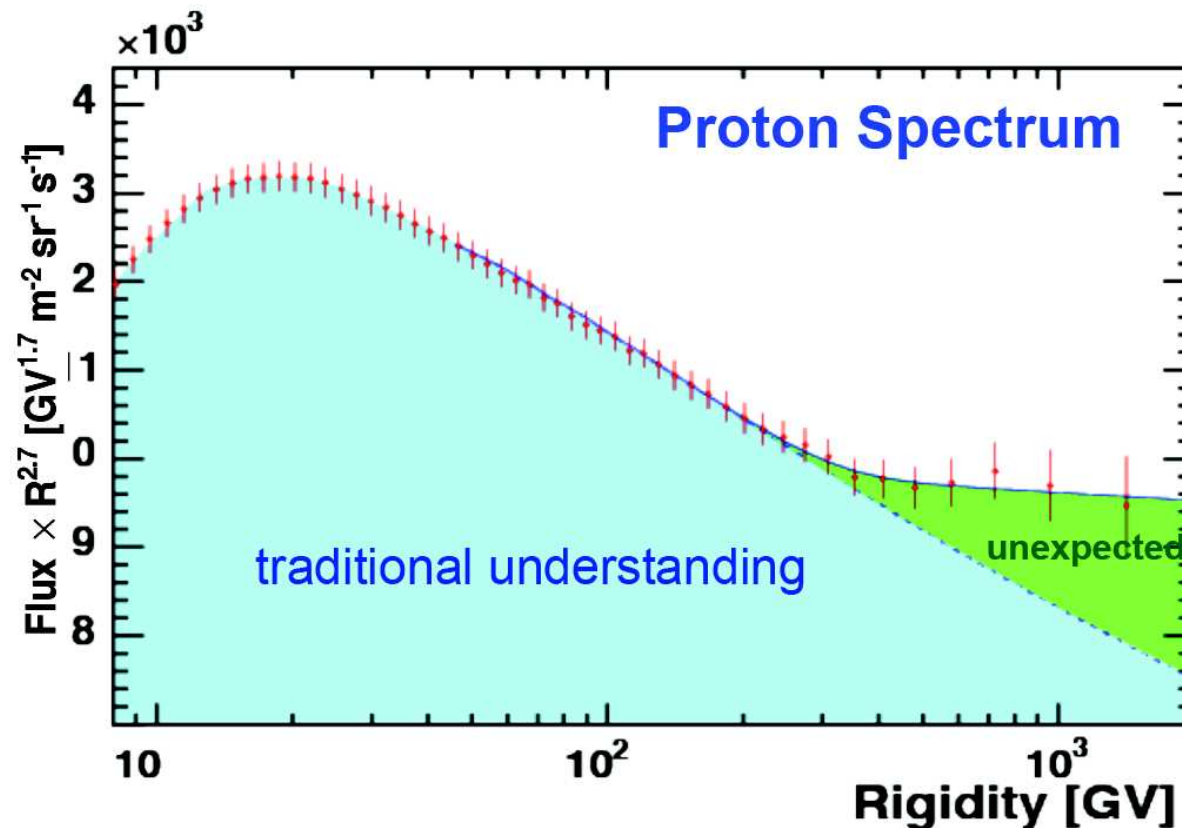


AMS-02

Lekkie jądra

Dla energii powyżej 100 GeV obserwujemy także zmiany w kształcie widma dla protonów (wodoru), helu i litu

Może to świadczyć o innych mechanizmach produkcji w tym zakresie energii...

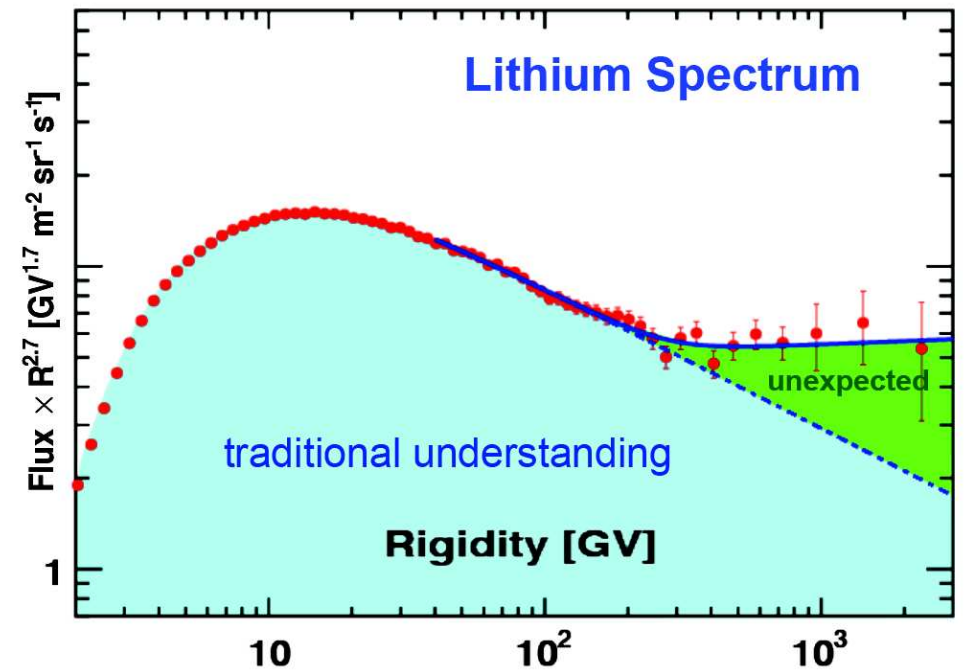
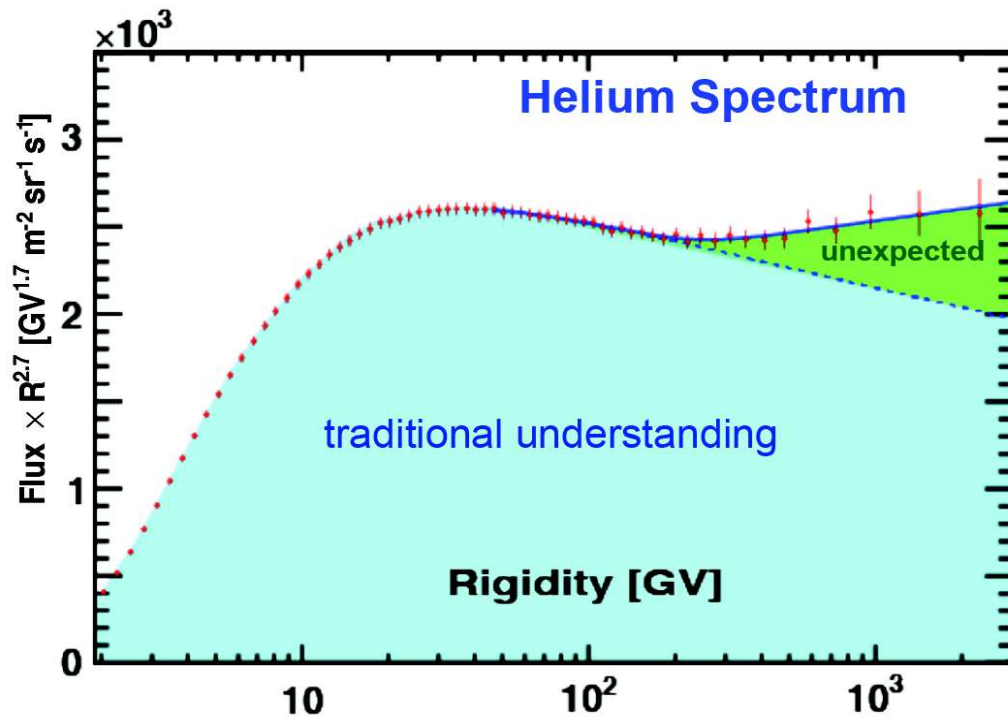


AMS-02

Lekkie jądra

Dla energii powyżej 100 GeV obserwujemy także zmiany w kształcie widma dla protonów (wodoru), helu i litu

Może to świadczyć o innych mechanizmach produkcji w tym zakresie energii...



Podsumowanie

Współpraca AMS przedstawiła w 2015 roku bardzo precyzyjne wyniki dotyczące pomiarów promieniowania kosmicznego.

Zaobserwowano szereg efektów, które mogą być sygnaturami anihilacji cząstek ciemnej materii

- “nadwyżka” pozytonów
- “zagięcie” stosunku pozytonów do elektronów przy ok. 300 GeV
- “nadwyżka” antyprotonów

Jednak wciąż dane te można wytłumaczyć w oparciu o inne hipotezy.

⇒ potrzeba jeszcze dokładniejszych pomiarów,
a zwłaszcza rozszerzenia badanego zakresu do wyższych energii